

(19) 日本国特許庁(JP)

(12) 特許公報(B2)

(11) 特許番号

特許第6470060号
(P6470060)

(45) 発行日 平成31年2月13日(2019.2.13)

(24) 登録日 平成31年1月25日(2019.1.25)

(51) Int.Cl.		F I			
HO 1 L	21/314	(2006.01)	HO 1 L	21/314	A
HO 1 L	21/316	(2006.01)	HO 1 L	21/316	X
HO 1 L	21/31	(2006.01)	HO 1 L	21/316	P
			HO 1 L	21/31	B

請求項の数 16 (全 32 頁)

(21) 出願番号	特願2015-17930 (P2015-17930)	(73) 特許権者	318009126
(22) 出願日	平成27年1月30日(2015.1.30)		株式会社KOKUSAI ELECTRIC
(65) 公開番号	特開2016-143745 (P2016-143745A)		C
(43) 公開日	平成28年8月8日(2016.8.8)		東京都千代田区神田鍛冶町3丁目4番地
審査請求日	平成29年9月19日(2017.9.19)	(74) 代理人	100145872
			弁理士 福岡 昌浩
		(74) 代理人	100091362
			弁理士 阿仁屋 節雄
		(72) 発明者	野田 孝暁
			富山県富山市八尾町保内二丁目1番地 株式会社日立国際電気内
		(72) 発明者	紺野 光太郎
			富山県富山市八尾町保内二丁目1番地 株式会社日立国際電気内

最終頁に続く

(54) 【発明の名称】 半導体装置の製造方法、基板処理装置およびプログラム

(57) 【特許請求の範囲】

【請求項1】

第1の温度とした処理室内の基板に対してハロゲン基を含む有機系または無機系の原料ガスと触媒ガスとを供給する工程と、前記処理室内の前記基板に対してOH基を含むガスと触媒ガスとを供給する工程と、を非同時に行うサイクルを所定回数行うことで、前記基板上に膜を形成する工程と、

前記処理室内の温度を、前記第1の温度から、前記第1の温度よりも高い温度であって前記処理室内に付着した水分の気化を促し水分を除去可能な第2の温度へ変更する工程と

、
少なくとも前記処理室内に前記基板がない状態で、前記処理室内を前記第2の温度に維持する工程と、

を有し、

前記処理室内を前記第2の温度に維持する工程では、不活性ガスまたはアルコールを前記処理室内へ供給し前記処理室内から排気することで、前記処理室内に付着した水分を除去する半導体装置の製造方法。

【請求項2】

前記処理室内を前記第2の温度に維持する工程を、少なくとも前記膜を形成する工程後の所定期間に行う請求項1に記載の半導体装置の製造方法。

【請求項3】

前記処理室内を前記第2の温度に維持する工程を、前記処理室内に前記基板がある状態

10

20

でも行う請求項 1 または 2 に記載の半導体装置の製造方法。

【請求項 4】

前記処理室内を前記第 2 の温度に維持する工程を、前記膜形成後の前記基板を前記処理室内から搬出する前に開始する請求項 1 に記載の半導体装置の製造方法。

【請求項 5】

前記処理室内を前記第 2 の温度に維持する工程を、前記膜形成後の前記基板を前記処理室内から搬出する際も継続する請求項 4 に記載の半導体装置の製造方法。

【請求項 6】

前記処理室内を前記第 2 の温度に維持する工程を、前記膜形成後の前記基板を前記処理室内から搬出した後も継続する請求項 4 に記載の半導体装置の製造方法。

10

【請求項 7】

前記処理室内を前記第 2 の温度に維持する工程を、前記膜形成後の前記基板を前記処理室内から搬出した後の所定期間経過後まで継続する請求項 4 に記載の半導体装置の製造方法。

【請求項 8】

前記処理室内を前記第 2 の温度に維持する工程を、前記膜形成後の前記基板を前記処理室内から搬出した後に開始する請求項 2 に記載の半導体装置の製造方法。

【請求項 9】

前記処理室内を前記第 2 の温度に維持する工程を、前記膜形成後の前記基板を前記処理室内から搬出した後の所定期間経過後まで継続する請求項 8 に記載の半導体装置の製造方法。

20

【請求項 10】

前記処理室内の温度を、前記第 2 の温度から前記第 1 の温度へ変更する工程をさらに有する請求項 1 に記載の半導体装置の製造方法。

【請求項 11】

前記膜を形成する工程と、
前記処理室内の温度を前記第 2 の温度へ変更する工程と、
前記処理室内を前記第 2 の温度に維持する工程と、
前記処理室内の温度を前記第 1 の温度へ変更する工程と、
を 1 セットとしてこのセットを複数回繰り返す請求項 10 に記載の半導体装置の製造方法。

30

【請求項 12】

前記第 1 の温度を 10 以上 90 以下とする請求項 1 ~ 11 のいずれか 1 項に記載の半導体装置の製造方法。

【請求項 13】

前記第 2 の温度を 100 以上 600 以下とする請求項 1 ~ 12 のいずれか 1 項に記載の半導体装置の製造方法。

【請求項 14】

前記原料ガスは、半導体元素および金属元素からなる群より選択される少なくとも 1 つの元素と炭素との化学結合を含む請求項 1 に記載の半導体装置の製造方法。

40

【請求項 15】

基板を収容する処理室と、
前記処理室内の基板に対して、ハロゲン基を含む有機系または無機系の原料ガス、OH 基を含むガス、触媒ガス、および、不活性ガスまたはアルコールを供給するガス供給系と、

前記処理室内を排気する排気系と、
前記処理室内を加熱するヒータと、
第 1 の温度とした前記処理室内の基板に対して前記原料ガスと前記触媒ガスとを供給する処理と、前記処理室内の前記基板に対して前記 OH 基を含むガスと前記触媒ガスとを供給する処理と、を非同時に行うサイクルを所定回数行うことで、前記基板上に膜を形成す

50

る処理と、前記処理室内の温度を、前記第 1 の温度から、前記第 1 の温度よりも高い温度であって前記処理室内に付着した水分の気化を促し水分を除去可能な第 2 の温度へ変更する処理と、少なくとも前記処理室内に前記基板がない状態で、前記処理室内を前記第 2 の温度に維持する処理と、を行わせ、前記処理室内を前記第 2 の温度に維持する処理において、前記不活性ガスまたは前記アルコールを前記処理室内へ供給し前記処理室内から排気することで、前記処理室内に付着した水分を除去するように、前記ガス供給系、前記排気系、および前記ヒータを制御するよう構成される制御部と、

を有する基板処理装置。

【請求項 16】

基板処理装置の第 1 の温度とした処理室内の基板に対してハロゲン基を含む有機系または無機系の原料ガスと触媒ガスとを供給する手順と、前記処理室内の前記基板に対して OH 基を含むガスと触媒ガスとを供給する手順と、を非同時に行うサイクルを所定回数行うことで、前記基板上に膜を形成する手順と、

10

前記処理室内の温度を、前記第 1 の温度から、前記第 1 の温度よりも高い温度であって前記処理室内に付着した水分の気化を促し水分を除去可能な第 2 の温度へ変更する手順と、

少なくとも前記処理室内に前記基板がない状態で、前記処理室内を前記第 2 の温度に維持する手順と、

前記処理室内を前記第 2 の温度に維持する手順において、不活性ガスまたはアルコールを前記処理室内へ供給し前記処理室内から排気することで、前記処理室内に付着した水分を除去する手順と、

20

をコンピュータによって前記基板処理装置に実行させるプログラム。

【発明の詳細な説明】

【技術分野】

【0001】

本発明は、半導体装置の製造方法、基板処理装置およびプログラムに関する。

【背景技術】

【0002】

半導体装置（デバイス）の製造工程の一工程として、基板に対して少なくとも OH 基を含むガスを供給し、基板上に膜を形成する成膜処理が行われることがある。

30

【発明の概要】

【発明が解決しようとする課題】

【0003】

本発明の目的は、基板上に膜を形成する際、成膜レートや膜質を安定化させることが可能な技術を提供することにある。

【課題を解決するための手段】

【0004】

本発明の一態様によれば、

第 1 の温度とした処理室内の基板に対して、少なくとも OH 基を含むガスを供給して、前記基板上に膜を形成する工程と、

40

前記処理室内の温度を、前記第 1 の温度から前記第 1 の温度よりも高い第 2 の温度へ変更する工程と、

少なくとも前記処理室内に前記基板がない状態で、前記処理室内を前記第 2 の温度に維持する工程と、

を有する技術が提供される。

【発明の効果】

【0005】

本発明によれば、基板上に膜を形成する際、成膜レートや膜質を安定化させることが可能となる。

50

【図面の簡単な説明】

【0006】

【図1】本発明の実施形態で好適に用いられる基板処理装置の縦型処理炉の概略構成図であり、処理炉部分を縦断面図で示す図である。

【図2】本発明の実施形態で好適に用いられる基板処理装置の縦型処理炉の一部の概略構成図であり、処理炉の一部を図1のA-A線断面図で示す図である。

【図3】本発明の実施形態で好適に用いられる基板処理装置のコントローラの概略構成図であり、コントローラの制御系をブロック図で示す図である。

【図4】本発明の一実施形態の成膜シーケンスを示す図である。

【図5】(a)は本発明の一実施形態の基板処理シーケンスを、(b)は本発明の一実施形態の基板処理シーケンスの変形例を、(c)は本発明の一実施形態の基板処理シーケンスの他の変形例を、(d)は本発明の一実施形態の基板処理シーケンスの他の変形例をそれぞれ示す図である。

【図6】(a)はH C D Sの化学構造式を、(b)はO C T Sの化学構造式をそれぞれ示す図である。

【図7】(a)はB T C S Mの化学構造式を、(b)はB T C S Eの化学構造式をそれぞれ示す図である。

【図8】(a)はT C D M D Sの化学構造式を、(b)はD C T M D Sの化学構造式を、(c)はM C P M D Sの化学構造式をそれぞれ示す図である。

【図9】(a)は環状アミンの化学構造式等を、(b)は鎖状アミンであるT E Aの化学構造式等を、(c)は鎖状アミンであるD E Aの化学構造式等を、(d)は鎖状アミンであるM E Aの化学構造式等を、(e)は鎖状アミンであるT M Aの化学構造式等を、(f)は鎖状アミンであるM M Aの化学構造式等をそれぞれ示す図である。

【図10】(a)は成膜レートの評価結果を、(b)は膜のエッチング耐性の評価結果をそれぞれ示す図である。

【図11】本発明の他の実施形態で好適に用いられる基板処理装置の処理炉の概略構成図であり、処理炉部分を縦断面図で示す図である。

【図12】本発明の他の実施形態で好適に用いられる基板処理装置の処理炉の概略構成図であり、処理炉部分を縦断面図で示す図である。

【発明を実施するための形態】

【0007】

<本発明の一実施形態>

以下、本発明の一実施形態について、図1～図3を用いて説明する。

【0008】

(1)基板処理装置の構成

図1に示すように、処理炉202は加熱手段(加熱機構)としてのヒータ207を有する。ヒータ207は円筒形状であり、保持板としてのヒータベース(図示せず)に支持されることにより垂直に据え付けられている。ヒータ207は、後述するようにガスを熱で活性化(励起)させる活性化機構(励起部)としても機能する。

【0009】

ヒータ207の内側には、ヒータ207と同心円状に反応管203が配設されている。反応管203は、例えば石英(SiO_2)または炭化シリコン(SiC)等の耐熱性材料からなり、上端が閉塞し下端が開口した円筒形状に形成されている。反応管203の下方には、反応管203と同心円状に、マニホールド(インレットフランジ)209が配設されている。マニホールド209は、例えばステンレス(SUS)等の金属からなり、上端及び下端が開口した円筒形状に形成されている。マニホールド209の上端部は、反応管203の下端部に係合しており、反応管203を支持するように構成されている。マニホールド209と反応管203との間には、シール部材としてのリング220aが設けられている。マニホールド209がヒータベースに支持されることにより、反応管203は垂直に据え付けられた状態となる。主に、反応管203とマニホールド209とにより処

10

20

30

40

50

理容器（反応容器）が構成されている。処理容器の筒中空部には処理室201が形成されている。処理室201は、複数枚の基板としてのウエハ200を、後述するポート217によって水平姿勢で垂直方向に多段に配列した状態で収容可能に構成されている。

【0010】

処理室201内には、ノズル249a～249cが、マニホールド209を貫通するように設けられている。ノズル249a～249cは、例えば石英またはSiC等の耐熱性材料からなる。ノズル249a～249cには、ガス供給管232a～232cがそれぞれ接続されている。このように、反応管203には、3本のノズル249a～249cと、3本のガス供給管232a～232cとが設けられており、処理室201内へ複数種類のガスを供給することが可能となっている。

10

【0011】

ガス供給管232a～232cには、上流方向から順に、流量制御器（流量制御部）であるマスフローコントローラ（MFC）241a～241cおよび開閉弁であるバルブ243a～243cがそれぞれ設けられている。ガス供給管232a～232cのバルブ243a～243cよりも下流側には、不活性ガスを供給するガス供給管232d～232fがそれぞれ接続されている。ガス供給管232d～232fには、上流方向から順に、流量制御器（流量制御部）であるMFC241d～241fおよび開閉弁であるバルブ243d～243fがそれぞれ設けられている。

【0012】

ガス供給管232a～232cの先端部には、ノズル249a～249cがそれぞれ接続されている。ノズル249a～249cは、図2に示すように、反応管203の内壁とウエハ200との間における円環状の空間に、反応管203の内壁の下部より上部に沿って、ウエハ200の積載方向上方に向かって立ち上がるようにそれぞれ設けられている。すなわち、ノズル249a～249cは、ウエハ200が配列されるウエハ配列領域の側方の、ウエハ配列領域を水平に取り囲む領域に、ウエハ配列領域に沿うようにそれぞれ設けられている。すなわち、ノズル249a～249cは、処理室201内に搬入されたウエハ200の端部（周縁部）の側方にウエハ200の表面（平坦面）と垂直にそれぞれ設けられている。ノズル249a～249cは、L字型のロングノズルとしてそれぞれ構成されており、それらの各水平部はマニホールド209の側壁を貫通するように設けられており、それらの各垂直部は少なくともウエハ配列領域の一端側から他端側に向かって立ち上がるように設けられている。ノズル249a～249cの側面には、ガスを供給するガス供給孔250a～250cがそれぞれ設けられている。ガス供給孔250a～250cは、反応管203の中心を向くようにそれぞれ開口しており、ウエハ200に向けてガスを供給することが可能となっている。ガス供給孔250a～250cのそれぞれは、反応管203の下部から上部にわたって複数設けられ、それぞれが同一の開口面積を有し、更に同じ開口ピッチで設けられている。

20

30

【0013】

このように、本実施形態では、反応管203の内壁と、積載された複数のウエハ200の端部と、で定義される円環状の縦長の空間内、すなわち、円筒状の空間内に配置したノズル249a～249cを経由してガスを搬送している。そして、ノズル249a～249cにそれぞれ開口されたガス供給孔250a～250cから、ウエハ200の近傍で初めて反応管203内へガスを噴出させている。そして、反応管203内におけるガスの主たる流れを、ウエハ200の表面と平行な方向、すなわち、水平方向としている。このような構成とすることで、各ウエハ200に均一にガスを供給でき、各ウエハ200に形成される膜の膜厚均一性を向上させることが可能となる。ウエハ200の表面上を流れたガス、すなわち、反応後の残ガスは、排気口、すなわち、後述する排気管231の方向に向かって流れる。但し、この残ガスの流れの方向は、排気口の位置によって適宜特定され、垂直方向に限ったものではない。

40

【0014】

ガス供給管232aからは、所定元素を含む原料ガスとして、例えば、所定元素として

50

の Si およびハロゲン元素を含むハロシラン原料ガスが、MFC 241a、バルブ 243a、ノズル 249a を介して処理室 201 内へ供給される。

【0015】

ハロシラン原料ガスとは、気体状態のハロシラン原料、例えば、常温常圧下で液体状態であるハロシラン原料を気化することで得られるガスや、常温常圧下で気体状態であるハロシラン原料等のことである。ハロシラン原料とは、ハロゲン基を有するシラン原料のことである。ハロゲン基には、クロロ基、フルオロ基、ブロモ基、ヨード基等が含まれる。すなわち、ハロゲン基には、塩素 (Cl)、フッ素 (F)、臭素 (Br)、ヨウ素 (I) 等のハロゲン元素が含まれる。ハロシラン原料は、ハロゲン化合物の一種ともいえる。本明細書において「原料」という言葉を用いた場合は、「液体状態である液体原料」を意味する
10
場合、「気体状態である原料ガス」を意味する場合、または、その両方を意味する場合がある。

【0016】

ハロシラン原料ガスとしては、例えば、Si および Cl を含む C 非含有の原料ガス、すなわち、無機系のクロロシラン原料ガスを用いることができる。無機系のクロロシラン原料ガスとしては、例えば、ヘキサクロロジシラン (Si_2Cl_6 、略称：HCDS) ガスや、オクタクロロトリシラン (Si_3Cl_8 、略称：OCTS) ガス等を用いることができる。図 6 (a) に HCDS の化学構造式を、図 6 (b) に OCTS の化学構造式をそれぞれ示す。これらのガスは、1 分子中に少なくとも 2 つの Si を含み、さらに Cl を含み、Si-Si 結合を有する原料ガスであるともいえる。これらのガスは、後述する成膜処理において、Si ソースとして作用する。
20

【0017】

また、ハロシラン原料ガスとしては、例えば、Si、Cl およびアルキレン基を含み、Si-C 結合を有する原料ガス、すなわち、有機系のクロロシラン原料ガスであるアルキレンクロロシラン原料ガスを用いることもできる。アルキレン基には、メチレン基、エチレン基、プロピレン基、ブチレン基等が含まれる。アルキレンクロロシラン原料ガスを、アルキレンハロシラン原料ガスと称することもできる。アルキレンクロロシラン原料ガスとしては、例えば、ビス(トリクロロシリル)メタン ($(SiCl_3)_2CH_2$ 、略称：BTCSM) ガス、エチレンビス(トリクロロシラン)ガス、すなわち、1,2-ビス(トリクロロシリル)エタン ($(SiCl_3)_2C_2H_4$ 、略称：BTCSE) ガス等を用
30
いることができる。図 7 (a) に BTCSM の化学構造式を、図 7 (b) に BTCSE の化学構造式をそれぞれ示す。これらのガスは、1 分子中に少なくとも 2 つの Si を含み、さらに C および Cl を含み、Si-C 結合を有する原料ガスであるともいえる。これらのガスは、後述する成膜処理において、Si ソースとしても作用し、C ソースとしても作用する。

【0018】

また、ハロシラン原料ガスとしては、例えば、Si、Cl およびアルキル基を含み、Si-C 結合を有する原料ガス、すなわち、有機系のクロロシラン原料ガスであるアルキルクロロシラン原料ガスを用いることもできる。アルキル基には、メチル基、エチル基、プロピル基、ブチル基等が含まれる。アルキルクロロシラン原料ガスを、アルキルハロシ
40
ラン原料ガスと称することもできる。アルキルクロロシラン原料ガスとしては、例えば、1,1,2,2-テトラクロロ-1,2-ジメチルジシラン ($(CH_3)_2Si_2Cl_4$ 、略称：TCDMDS) ガス、1,2-ジクロロ-1,1,2,2-テトラメチルジシラン ($(CH_3)_4Si_2Cl_2$ 、略称：DCTMDS) ガス、1-モノクロロ-1,1,2,2,2-ペンタメチルジシラン ($(CH_3)_5Si_2Cl$ 、略称：MCPMDS) ガス等を用いることができる。図 8 (a) に TCDMDS の化学構造式を、図 8 (b) に DCTMDS の化学構造式を、図 8 (c) に MCPMDS の化学構造式をそれぞれ示す。これらのガスは、1 分子中に少なくとも 2 つの Si を含み、さらに C および Cl を含み、Si-C 結合を有する原料ガスであるともいえる。なお、これらのガスはさらに Si-Si 結合をも有する。これらのガスは、後述する成膜処理において、Si ソースとしても作用し
50

、Cソースとしても作用する。

【0019】

H C D S や B T C S M や T C D M D S 等のように常温常圧下で液体状態である液体原料を用いる場合は、液体状態の原料を気化器やバブラなどの気化システムにより気化して、原料ガス（H C D S ガス、B T C S M ガス、T C D M D S ガス等）として供給することとなる。

【0020】

ガス供給管 232b からは、原料ガスとは化学構造が異なる反応ガスとして、OH基（ヒドロキシ基）を含むガスが、M F C 241b、バルブ 243b、ノズル 249b を介して処理室 201 内へ供給される。OH基を含むガスは、後述する成膜処理において、酸化剤（酸化ガス）、すなわち、Oソースとして作用する。OH基を含むガスとしては、例えば水蒸気（ H_2O ガス）を用いることができる。例えば、逆浸透膜を用いて不純物を除去した R O (R e v e r s e O s m o s i s) 水や、脱イオン処理を施すことで不純物を除去した脱イオン水や、蒸留器を用いて蒸留することで不純物を除去した蒸留水等の純水（或いは超純水）を、気化器やバブラやボイラ等の気化システムにより気化して、OH基を含むガス（ H_2O ガス）として供給することとなる。

10

【0021】

ガス供給管 232c からは、上述の原料ガスや反応ガスによる成膜反応を促進させる触媒ガスが、M F C 241c、バルブ 243c、ノズル 249c を介して処理室 201 内へ供給される。触媒ガスとしては、例えば、C、NおよびHを含むアミン系ガスを用いることができる。

20

【0022】

アミン系ガスとは、アンモニア（ NH_3 ）のHのうち少なくとも1つをアルキル基等の炭化水素基で置換したアミンを含むガスである。図9（a）～図9（f）に示すように、孤立電子対を有するNを含み、酸解離定数（以下、 pK_a ともいう）が例えば5～11程度であるアミンを、触媒として好適に用いることができる。酸解離定数（ pK_a ）とは、酸の強さを定量的に表わす指標のひとつであり、酸からHイオンが放出される解離反応における平衡定数 K_a を負の常用対数で表わしたものである。アミン系ガスとしては、炭化水素基が環状となった環状アミン系ガスや、炭化水素基が鎖状となった鎖状アミン系ガスを用いることができる。

30

【0023】

環状アミン系ガスとしては、図9（a）に示すように、例えば、ピリジン（ C_5H_5N 、 $pK_a = 5.67$ ）ガス、アミノピリジン（ $C_5H_6N_2$ 、 $pK_a = 6.89$ ）ガス、ピコリン（ C_6H_7N 、 $pK_a = 6.07$ ）ガス、ルチジン（ C_7H_9N 、 $pK_a = 6.96$ ）ガス、ピペラジン（ $C_4H_{10}N_2$ 、 $pK_a = 9.80$ ）ガス、ピペリジン（ $C_5H_{11}N$ 、 $pK_a = 11.12$ ）ガス等を用いることができる。環状アミン系ガスは、CとNとの複数種類の元素からその環状構造が構成される複素環化合物（複素環式化合物）、すなわち、窒素含有複素環化合物であるともいえる。

【0024】

鎖状アミン系ガスとしては、図9（b）～図9（f）に示すように、例えば、トリエチルアミン（ $(C_2H_5)_3N$ 、略称：T E A、 $pK_a = 10.7$ ）ガス、ジエチルアミン（ $(C_2H_5)_2NH$ 、略称：D E A、 $pK_a = 10.9$ ）ガス、モノエチルアミン（ $(C_2H_5)NH_2$ 、略称：M E A、 $pK_a = 10.6$ ）ガス、トリメチルアミン（ $(CH_3)_3N$ 、略称：T M A、 $pK_a = 9.8$ ）ガス、モノメチルアミン（ $(CH_3)NH_2$ 、略称：M M A、 $pK_a = 10.6$ ）ガス等を用いることができる。

40

【0025】

触媒として作用するアミン系ガスを、アミン系触媒、或いは、アミン系触媒ガスと称することもできる。触媒ガスとしては、上述のアミン系ガスの他、非アミン系ガス、例えば、アンモニア（ NH_3 、 $pK_a = 9.2$ ）ガス等も用いることができる。

【0026】

50

なお、ここで例示した触媒は、後述する成膜処理において、分子構造の一部が分解する場合もある。このような、化学反応の前後でその一部が変化する物質は、厳密には「触媒」ではない。しかしながら、本明細書では、化学反応の過程でその一部が分解する場合であっても、大部分は分解せず、また、反応の速度を変化させ、実質的に触媒として作用する物質を、「触媒」と称することとしている。

【0027】

ガス供給管232d～232fからは、不活性ガスとして、例えば、窒素(N₂)ガスが、それぞれMFC241d～241f、バルブ243d～243f、ガス供給管232a～232c、ノズル249a～249cを介して処理室201内へ供給される。

【0028】

ガス供給管232aから上述の原料ガスを供給する場合、主に、ガス供給管232a、MFC241a、バルブ243aにより、原料ガス供給系が構成される。ノズル249aを原料ガス供給系に含めて考えてもよい。原料ガス供給系を原料供給系と称することもできる。ガス供給管232aからハロシラン原料ガスを供給する場合、原料ガス供給系を、ハロシラン原料ガス供給系、或いは、ハロシラン原料供給系と称することもできる。

【0029】

ガス供給管232bから上述の反応ガスを供給する場合、主に、ガス供給管232b、MFC241b、バルブ243bにより、反応ガス供給系が構成される。ノズル249bを反応ガス供給系に含めて考えてもよい。ガス供給管232bからOH基を含むガスを供給する場合、反応ガス供給系を、OH基含有ガス供給系、O含有ガス供給系、酸化剤供給系、或いは、酸化ガス供給系と称することもできる。

【0030】

ガス供給管232cから上述の触媒ガスを供給する場合、主に、ガス供給管232c、MFC241c、バルブ243cにより、触媒ガス供給系が構成される。ノズル249cを触媒ガス供給系に含めて考えてもよい。触媒ガス供給系を触媒供給系と称することもできる。ガス供給管232cからアミン系ガスを供給する場合、触媒ガス供給系を、アミン系触媒ガス供給系、アミン系ガス供給系、或いは、アミン供給系と称することもできる。

【0031】

また、主に、ガス供給管232d～232f、MFC241d～241f、バルブ243d～243fにより、不活性ガス供給系が構成される。不活性ガス供給系を、パージガス供給系、希釈ガス供給系、或いは、キャリアガス供給系と称することもできる。

【0032】

反応管203には、処理室201内の雰囲気気を排気する排気管231が設けられている。排気管231には、処理室201内の圧力を検出する圧力検出器(圧力検出部)としての圧力センサ245および圧力調整器(圧力調整部)としてのAPC(Auto Pressure Controller)バルブ244を介して、真空排気装置としての真空ポンプ246が接続されている。APCバルブ244は、真空ポンプ246を作動させた状態で弁を開閉することで、処理室201内の真空排気および真空排気停止を行うことができ、更に、真空ポンプ246を作動させた状態で、圧力センサ245により検出された圧力情報に基づいて弁開度を調節することで、処理室201内の圧力を調整することができるように構成されているバルブである。主に、排気管231、APCバルブ244、圧力センサ245により、排気系が構成される。真空ポンプ246を排気系に含めて考えてもよい。排気管231は、反応管203に設ける場合に限らず、ノズル249a～249cと同様にマニホールド209に設けてもよい。

【0033】

マニホールド209の下方には、マニホールド209の下端開口を気密に閉塞可能な炉口蓋体としてのシールキャップ219が設けられている。シールキャップ219は、マニホールド209の下端に垂直方向下側から当接されるように構成されている。シールキャップ219は、例えばSUS等の金属からなり、円盤状に形成されている。シールキャップ219の上面には、マニホールド209の下端と当接するシール部材としてのリング

10

20

30

40

50

220bが設けられている。シールキャップ219の処理室201と反対側には、後述するポート217を回転させる回転機構267が設置されている。回転機構267の回転軸255は、シールキャップ219を貫通してポート217に接続されている。回転機構267は、ポート217を回転させることでウエハ200を回転させるように構成されている。シールキャップ219は、反応管203の外部に垂直に設置された昇降機構としてのポートエレベータ115によって垂直方向に昇降されるように構成されている。ポートエレベータ115は、シールキャップ219を昇降させることで、ポート217を処理室201内外に搬入および搬出することが可能なように構成されている。すなわち、ポートエレベータ115は、ポート217すなわちウエハ200を、処理室201内外に搬送する搬送装置（搬送機構）として構成されている。また、マニホールド209の下方には、ポートエレベータ115によりシールキャップ219を降下させている間、マニホールド209の下端開口を気密に閉塞可能な炉口蓋体としてのシャッタ219sが設けられている。シャッタ219sは、例えばステンレス等の金属により構成され、円盤状に形成されている。シャッタ219sの上面には、マニホールド209の下端と当接するシール部材としてのリング220cが設けられている。シャッタ219sの開閉動作（昇降動作や回転動作等）は、シャッタ開閉機構115sにより制御される。

10

【0034】

基板支持具としてのポート217は、複数枚、例えば25～200枚のウエハ200を、水平姿勢で、かつ、互いに中心を揃えた状態で垂直方向に整列させて多段に支持するように、すなわち、間隔を空けて配列させるように構成されている。ポート217は、例えば石英やSiC等の耐熱性材料からなる。ポート217の下部には、例えば石英やSiC等の耐熱性材料からなる断熱板218が水平姿勢で多段に支持されている。この構成により、ヒータ207からの熱がシールキャップ219側に伝わりにくくなっている。但し、本実施形態は上述の形態に限定されない。例えば、ポート217の下部に断熱板218を設けずに、石英やSiC等の耐熱性材料からなる筒状の部材として構成された断熱筒を設けてもよい。

20

【0035】

反応管203内には、温度検出器としての温度センサ263が設置されている。温度センサ263により検出された温度情報に基づきヒータ207への通電具合を調整することで、処理室201内の温度が所望の温度分布となる。温度センサ263は、ノズル249a～249cと同様にL字型に構成されており、反応管203の内壁に沿って設けられている。

30

【0036】

図3に示すように、制御部（制御手段）であるコントローラ121は、CPU（Central Processing Unit）121a、RAM（Random Access Memory）121b、記憶装置121c、I/Oポート121dを備えたコンピュータとして構成されている。RAM121b、記憶装置121c、I/Oポート121dは、内部バス121eを介して、CPU121aとデータ交換可能なように構成されている。コントローラ121には、例えばタッチパネル等として構成された入出力装置122が接続されている。

40

【0037】

記憶装置121cは、例えばフラッシュメモリ、HDD（Hard Disk Drive）等で構成されている。記憶装置121c内には、基板処理装置の動作を制御する制御プログラムや、後述する基板処理の手順や条件等が記載されたプロセスレシピ等が、読み出し可能に格納されている。プロセスレシピは、後述する基板処理工程における各手順をコントローラ121に実行させ、所定の結果を得ることが出来るように組み合わせられたものであり、プログラムとして機能する。以下、このプロセスレシピや制御プログラム等を総称して、単に、プログラムともいう。また、プロセスレシピを単にレシピともいう。本明細書においてプログラムという言葉を用いた場合は、プロセスレシピ単体のみを含む場合、制御プログラム単体のみを含む場合、または、その両方を含む場合がある。RAM

50

121bは、CPU121aによって読み出されたプログラムやデータ等が一時的に保持されるメモリ領域（ワークエリア）として構成されている。

【0038】

I/Oポート121dは、上述のMFC241a～241f、バルブ243a～243f、圧力センサ245、APCバルブ244、真空ポンプ246、ヒータ207、温度センサ263、回転機構267、ポートエレベータ115、シャッタ開閉機構115s等に接続されている。

【0039】

CPU121aは、記憶装置121cから制御プログラムを読み出して実行すると共に、入出力装置122からの操作コマンドの入力等に応じて記憶装置121cからプロセスレシプを読み出すように構成されている。CPU121aは、読み出したプロセスレシプの内容に沿うように、MFC241a～241fによる各種ガスの流量調整動作、バルブ243a～243fの開閉動作、APCバルブ244の開閉動作および圧力センサ245に基づくAPCバルブ244による圧力調整動作、真空ポンプ246の起動および停止、温度センサ263に基づくヒータ207の温度調整動作、回転機構267によるポート217の回転および回転速度調節動作、ポートエレベータ115によるポート217の昇降動作、シャッタ開閉機構115sによるシャッタ219sの開閉動作等を制御するように構成されている。

【0040】

コントローラ121は、外部記憶装置（例えば、磁気テープ、フレキシブルディスクやハードディスク等の磁気ディスク、CDやDVD等の光ディスク、MO等の光磁気ディスク、USBメモリやメモ리카ード等の半導体メモリ）123に格納された上述のプログラムを、コンピュータにインストールすることにより構成することができる。記憶装置121cや外部記憶装置123は、コンピュータ読み取り可能な記録媒体として構成されている。以下、これらを総称して、単に、記録媒体ともいう。本明細書において記録媒体という言葉を用いた場合は、記憶装置121c単体のみを含む場合、外部記憶装置123単体のみを含む場合、または、その両方を含む場合がある。なお、コンピュータへのプログラムの提供は、外部記憶装置123を用いず、インターネットや専用回線等の通信手段を用いて行ってもよい。

【0041】

(2) 基板処理工程

上述の基板処理装置を用い、半導体装置（デバイス）の製造工程の一工程として行う基板処理の一例について、図5(a)、図4を用いて説明する。以下の説明において、基板処理装置を構成する各部の動作はコントローラ121により制御される。

【0042】

図5(a)に例示する基板処理では、

第1の温度とした処理室201内の基板としてのウエハ200に対して、少なくともOH基を含むガスを供給して、ウエハ200上に膜を形成する成膜ステップと、

処理室201内の温度を、第1の温度から第1の温度よりも高い第2の温度へ変更する昇温ステップと、

少なくとも処理室201内にウエハ200がない状態で、処理室201内を第2の温度に維持する温度維持ステップと、

を含むバッチ処理を複数回実施する。

【0043】

図5(a)では、便宜上、複数回実施するバッチ処理のうち、1つのバッチ処理を抜き出して示している。また、図5(a)では、バッチ処理で行う成膜ステップ、昇温ステップ、温度維持ステップを、それぞれ、「成膜」「昇温」「温度維持」と示している。また、バッチ処理で行う後述する搬入ステップ、温度・圧力調整ステップ、搬出ステップ、降温ステップを、それぞれ、「搬入」「温度・圧力調整」「搬出」「降温」と示している。

【0044】

10

20

30

40

50

また、図4に例示する成膜ステップでは、
 ウエハ200に対して、原料ガスとしてのBTCSMガスと、触媒ガスとしてのピリジンガスと、を供給するステップ1と、
 ウエハ200に対して、OH基を含むガスとしてのH₂Oガスと、触媒ガスとしてのピリジンガスと、を供給するステップ2と、
 を非同時に、すなわち、同期させることなく交互に行うサイクルを所定回数(1回以上)行うことで、ウエハ200上に、Si、OおよびCを含む膜として、シリコン酸炭化膜(SiOC膜)を形成する。なお、本実施形態では、ステップ1で用いる触媒ガスが、ステップ2で用いる触媒ガスと同一の分子構造を有する例を示している。

【0045】

本明細書では、図4に示す成膜シーケンスを、便宜上、以下のように示すこともある。なお、以下の変形例や他の実施形態の説明においても、同様の表記を用いることとする。

【0046】

(BTCSM + ピリジン H₂O + ピリジン) × n SiOC

【0047】

本明細書において「ウエハ」という言葉を用いた場合は、「ウエハそのもの」を意味する場合や、「ウエハとその表面に形成された所定の層や膜等との積層体(集合体)」を意味する場合、すなわち、表面に形成された所定の層や膜等を含めてウエハと称する場合がある。また、本明細書において「ウエハの表面」という言葉を用いた場合は、「ウエハそのものの表面(露出面)」を意味する場合や、「ウエハ上に形成された所定の層や膜等の表面、すなわち、積層体としてのウエハの最表面」を意味する場合がある。

【0048】

従って、本明細書において「ウエハに対して所定のガスを供給する」と記載した場合は、「ウエハそのものの表面(露出面)に対して所定のガスを直接供給する」ことを意味する場合や、「ウエハ上に形成されている層や膜等に対して、すなわち、積層体としてのウエハの最表面に対して所定のガスを供給する」ことを意味する場合がある。また、本明細書において「ウエハ上に所定の層(または膜)を形成する」と記載した場合は、「ウエハそのものの表面(露出面)上に所定の層(または膜)を直接形成する」ことを意味する場合や、「ウエハ上に形成されている層や膜等の上、すなわち、積層体としてのウエハの最表面の上に所定の層(または膜)を形成する」ことを意味する場合がある。

【0049】

また、本明細書において「基板」という言葉を用いた場合も、「ウエハ」という言葉を用いた場合と同様であり、その場合、上記説明において、「ウエハ」を「基板」に置き換えて考えればよい。

【0050】

(搬入ステップ)

複数枚のウエハ200がポート217に装填(ウエハチャージ)されると、シャッタ開閉機構115sによりシャッタ219sが移動させられて、マニホールド209の下端開口が開放される(シャッタオープン)。その後、図1に示すように、複数枚のウエハ200を支持したポート217は、ポートエレベータ115によって持ち上げられて処理室201内へ搬入(ポートロード)される。この状態で、シールキャップ219は、リング220bを介してマニホールド209の下端をシールした状態となる。

【0051】

(温度・圧力調整ステップ)

処理室201内、すなわち、ウエハ200が存在する空間が所望の圧力(真空度)となるように、真空ポンプ246によって真空排気(減圧排気)される。この際、処理室201内の圧力は圧力センサ245で測定され、この測定された圧力情報に基づきAPCバルブ244がフィードバック制御される。真空ポンプ246は、少なくともウエハ200に対する処理が終了するまでの間は常時作動させた状態を維持する。また、処理室201内のウエハ200が所望の温度(後述する第1の温度)となるようにヒータ207によって

10

20

30

40

50

加熱される。この際、処理室 201 内が所望の温度分布となるように、温度センサ 263 が検出した温度情報に基づきヒータ 207 への通電具合がフィードバック制御される。ヒータ 207 による処理室 201 内の加熱は、少なくともウエハ 200 に対する処理が終了するまでの間は継続して行われる。また、回転機構 267 によるポート 217 およびウエハ 200 の回転を開始する。回転機構 267 によるポート 217 およびウエハ 200 の回転は、少なくとも、ウエハ 200 に対する処理が終了するまでの間は継続して行われる。

【0052】

(成膜ステップ)

その後、後述する 2 つのステップ、すなわち、ステップ 1, 2 を順次実行する。

【0053】

[ステップ 1]

このステップでは、処理室 201 内のウエハ 200 に対して BTCSM ガスとピリジンガスとを供給する。

【0054】

バルブ 243a, 243c を開き、ガス供給管 232a 内へ BTCSM ガスを、ガス供給管 232c 内へピリジンガスをそれぞれ流す。BTCSM ガス、ピリジンガスは、それぞれ、MFC 241a, 241c により流量調整され、ノズル 249a, 249c を介して処理室 201 内へ供給され、処理室 201 内に供給された後に混合 (Post-mix) し、排気管 231 から排気される。このとき同時にバルブ 243d, 243f を開き、ガス供給管 232d, 232f 内へ N_2 ガスを流す。ガス供給管 232d, 232f 内を流れた N_2 ガスは、それぞれ、MFC 241d, 241f により流量調整され、BTCSM ガス、ピリジンガスと一緒に処理室 201 内へ供給され、排気管 231 から排気される。また、ノズル 249b 内への BTCSM ガス、ピリジンガスの侵入を防止するため、バルブ 243e を開き、ガス供給管 232e 内へ N_2 ガスを流す。 N_2 ガスは、ガス供給管 232b、ノズル 249b を介して処理室 201 内へ供給され、排気管 231 から排気される。

【0055】

このとき、APC バルブ 244 を適正に調整して、処理室 201 内の圧力を、例えば 1 ~ 3000 Pa、好ましくは 133 ~ 2666 Pa の範囲内の圧力とする。MFC 241a で制御する BTCSM ガスの供給流量は、例えば 1 ~ 2000 sccm、好ましくは 10 ~ 1000 sccm の範囲内の流量とする。MFC 241c で制御するピリジンガスの供給流量は、例えば 1 ~ 2000 sccm、好ましくは 10 ~ 1000 sccm の範囲内の流量とする。MFC 241d ~ 241f で制御する N_2 ガスの供給流量は、それぞれ例えば 100 ~ 10000 sccm の範囲内の流量とする。BTCSM ガスおよびピリジンガスをウエハ 200 に対して供給する時間、すなわち、ガス供給時間 (照射時間) は、例えば 1 ~ 100 秒、好ましくは 5 ~ 60 秒の範囲内の時間とする。

【0056】

このとき、ヒータ 207 の温度は、処理室 201 内の温度が、例えば 10 以上 90 以下、好ましくは室温 (25) 以上 70 以下、より好ましくは 50 以上 70 以下の範囲内の温度 (第 1 の温度) となるような温度に設定する。

【0057】

処理室 201 内の圧力を上述の範囲内の所定の圧力 (例えば 1333 Pa 以下) としたとき、成膜ステップにおける処理室 201 内の温度が 10 未満となると、処理室 201 内に供給されるガス (ステップ 1, 2 で供給する BTCSM ガス、 H_2O ガス、ピリジンガスの少なくともいずれか) が凝集しやすくなり、これらのガスが液化することがある。結果として、ウエハ 200 上に形成される SiOC 膜のフッ化水素 (HF) 等に対するエッチング耐性 (HF 耐性、耐酸性ともいう) が低下したり、SiOC 膜の面内膜厚均一性や面内膜質均一性が低下したりすることがある。成膜ステップにおける処理室 201 内の温度を 10 以上とすることで、これを解決することが可能となる。成膜ステップにおける処理室 201 内の温度を室温以上とすることで、処理室 201 内に供給されたガスの凝

10

20

30

40

50

集反応を抑制しやすくなる。結果として、ウエハ200上に形成されるSiOC膜のエッチング耐性を高め、また、SiOC膜の面内膜厚均一性や面内膜質均一性を向上させることが可能となる。成膜ステップにおける処理室201内の温度を50以上とすることで、処理室201内に供給されるガスの凝集反応を確実に回避することができ、ウエハ200上に形成されるSiOC膜のエッチング耐性をさらに高め、また、SiOC膜の面内膜厚均一性や面内膜質均一性をさらに向上させることが可能となる。

【0058】

また、処理室201内の圧力を上述の範囲内の所定の圧力（例えば1333Pa以下）としたとき、成膜ステップにおける処理室201内の温度が90を超えると、ウエハ200上への成膜反応（ステップ1, 2における後述する第1の層、第2の層の形成反応）が進行しにくくなり、1サイクルあたりに形成される層の厚さが減少（サイクルレートが低下）することがある。結果として、SiOC膜の成膜レートが低下することがある。成膜ステップにおける処理室201内の温度を90以下とすることで、これを解決することが可能となる。成膜ステップにおける処理室201内の温度を70以下とすることで、実用レベルのサイクルレート、すなわち、実用レベルの成膜レートを確実に確保（維持）することが可能となる。

10

【0059】

よって、成膜ステップにおける処理室201内の温度（第1の温度）は、10以上90以下、好ましくは室温（25）以上70以下、より好ましくは50以上70以下の範囲内の温度とするのがよい。

20

【0060】

上述の条件下でウエハ200に対してBTCSMガスを供給することにより、ウエハ200（表面の下地膜）上に、第1の層として、例えば1原子層未満から数原子層程度の厚さのCおよびClを含むSi含有層が形成される。CおよびClを含むSi含有層は、Si-C結合を含む層となる。CおよびClを含むSi含有層は、CおよびClを含むSi層であってもよいし、BTCSMの吸着層であってもよいし、その両方を含んでもよい。なお、本明細書では、CおよびClを含むSi含有層を、便宜上、単に、Cを含むSi含有層と称することもある。

【0061】

CおよびClを含むSi層とは、Siにより構成されCおよびClを含む連続的な層の他、不連続な層や、これらが重なってできるCおよびClを含むSi薄膜をも含む総称である。Siにより構成されCおよびClを含む連続的な層を、CおよびClを含むSi薄膜という場合もある。CおよびClを含むSi層を構成するSiは、CやClとの結合が完全に切れていないもの他、CやClとの結合が完全に切れているものも含む。

30

【0062】

BTCSMの吸着層は、BTCSM分子で構成される連続的な吸着層の他、不連続な吸着層をも含む。すなわち、BTCSMの吸着層は、BTCSM分子で構成される1分子層もしくは1分子層未満の厚さの吸着層を含む。BTCSMの吸着層を構成するBTCSM分子は、図7(a)に化学構造式を示すものだけでなく、SiとCとの結合が一部切れたものや、SiとClとの結合が一部切れたものも含む。すなわち、BTCSMの吸着層は、BTCSMの物理吸着層であってもよいし、BTCSMの化学吸着層であってもよいし、その両方を含んでもよい。

40

【0063】

ここで、1原子層未満の厚さの層とは不連続に形成される原子層のことを意味しており、1原子層の厚さの層とは連続的に形成される原子層のことを意味している。1分子層未満の厚さの層とは不連続に形成される分子層のことを意味しており、1分子層の厚さの層とは連続的に形成される分子層のことを意味している。CおよびClを含むSi含有層は、CおよびClを含むSi層とBTCSMの吸着層との両方を含み得る。但し、上述の通り、CおよびClを含むSi含有層については「1原子層」、「数原子層」等の表現を用いることとする。

50

【 0 0 6 4 】

ウエハ 2 0 0 上に形成される第 1 の層の厚さが数原子層を超えると、後述するステップ 2 での酸化の作用が第 1 の層の全体に届かなくなる。また、ウエハ 2 0 0 上に形成可能な第 1 の層の厚さの最小値は 1 原子層未満である。よって、第 1 の層の厚さは 1 原子層未満から数原子層程度とするのが好ましい。第 1 の層の厚さを 1 原子層以下、すなわち、1 原子層または 1 原子層未満とすることで、後述するステップ 2 での酸化反応の作用を相対的に高めることができ、ステップ 2 での酸化反応に要する時間を短縮することもできる。ステップ 1 での第 1 の層の形成に要する時間を短縮することもできる。結果として、1 サイクルあたりの処理時間を短縮することができ、トータルでの処理時間を短縮することも可能となる。すなわち、成膜レートを高くすることも可能となる。また、第 1 の層の厚さを 1 原子層以下とすることで、膜厚均一性の制御性を高めることも可能となる。

10

【 0 0 6 5 】

B T C S M ガスが自己分解（熱分解）する条件下、すなわち、B T C S M の熱分解反応が生じる条件下では、ウエハ 2 0 0 上に S i が堆積することで C および C l を含む S i 層が形成される。B T C S M ガスが自己分解（熱分解）しない条件下、すなわち、B T C S M の熱分解反応が生じない条件下では、ウエハ 2 0 0 上に B T C S M が吸着することで B T C S M の吸着層が形成される。どちらの条件下でも、B T C S M ガスにおける S i - C 結合の少なくとも一部は切断されずに保持（維持）され、C および C l を含む S i 含有層（C および C l を含む S i 層、または、B T C S M の吸着層）中にそのまま取り込まれることとなる。ウエハ 2 0 0 上に B T C S M の吸着層を形成するよりも、ウエハ 2 0 0 上に C および C l を含む S i 層を形成する方が、成膜レートを高くすることができ、好ましい。但し、本実施形態では、ウエハ 2 0 0 の温度を例えば 9 0 以下の低温としているので、ウエハ 2 0 0 上へは、C および C l を含む S i 層ではなく、B T C S M の吸着層の方が形成されやすくなる。なお、B T C S M ガスと一緒にピリジンガスを供給しない場合には、B T C S M の吸着層は、B T C S M の化学吸着層ではなく、B T C S M の物理吸着層によって構成されやすくなる。

20

【 0 0 6 6 】

ピリジンガスは、ウエハ 2 0 0 の表面に存在する O - H 結合の結合力を弱め、B T C S M ガスの分解を促し、B T C S M 分子の化学吸着による第 1 の層の形成を促進させる触媒ガスとして作用する。例えば、ピリジンガスは、ウエハ 2 0 0 の表面に存在する O - H 結合に作用し、その結合力を弱めるように作用する。結合力の弱まった H と、B T C S M ガスの C l と、が反応することで、C l、H を含むガス状物質が生成され、ウエハ 2 0 0 の表面から H が脱離すると共に、B T C S M 分子から C l が脱離することとなる。C l を失った B T C S M 分子（ハロゲン化物）は、ウエハ 2 0 0 等の表面に化学吸着する。これにより、ウエハ 2 0 0 上に、第 1 の層として、B T C S M の化学吸着層が形成されることとなる。

30

【 0 0 6 7 】

ピリジンガスの触媒作用により、ウエハ 2 0 0 の表面に存在する O - H 結合の結合力が弱まるのは、ピリジン分子中の孤立電子対を有する N が、H を引きつけるように作用するためである。p K a が大きい化合物は、H を引き付ける力が強くなる。p K a が 5 以上の化合物を触媒ガスとして用いることで、B T C S M の分解を促し、化学吸着による第 1 の層の形成を促進させることが可能となる。但し、p K a が過度に大きな化合物を触媒ガスとして用いると、B T C S M 分子から引き抜かれた C l と触媒ガスとが反応し、これにより、塩化アンモニウム（ NH_4Cl ）等の塩（パーティクル源）が発生する場合がある。そのため、p K a が例えば 1 以下、好ましくは 7 以下である化合物を触媒ガスとして用いるのが好ましい。ピリジンガスは、p K a が約 5 . 6 7 と比較的大きく、また、7 以下であることから、触媒ガスとして好適に用いることが可能である。

40

【 0 0 6 8 】

第 1 の層が形成された後、バルブ 2 4 3 a , 2 4 3 c を閉じ、処理室 2 0 1 内への B T C S M ガス、ピリジンガスの供給をそれぞれ停止する。このとき、A P C バルブ 2 4 4 は

50

開いたままとし、真空ポンプ246により処理室201内を真空排気し、処理室201内に残留する未反応もしくは第1の層の形成に寄与した後のBTCMSガス、ピリジンガス、反応副生成物等を処理室201内から排除する。また、バルブ243d~243fは開いたままとして、処理室201内へのN₂ガスの供給を維持する。N₂ガスはパージガスとして作用し、これにより、処理室201内に残留する未反応もしくは第1の層の形成に寄与した後のBTCMSガスおよびピリジンガス等を処理室201内から排除する効果を高めることができる。

【0069】

このとき、処理室201内に残留するガスを完全に排除しなくてもよく、処理室201内を完全にパージしなくてもよい。処理室201内に残留するガスが微量であれば、その後に行われるステップ2において悪影響が生じることはない。処理室201内へ供給するN₂ガスの流量も大流量とする必要はなく、例えば、反応管203(処理室201)の容積と同程度の量を供給することで、ステップ2において悪影響が生じない程度のパージを行うことができる。このように、処理室201内を完全にパージしないことで、パージ時間を短縮し、スループットを向上させることができる。N₂ガスの消費を必要最小限に抑えることも可能となる。

10

【0070】

原料ガスとしては、BTCMSガスの他、例えば、BTCSEガス、TCMDMSガス、DCTMDSガス、MCPMDSガス等のSi-C結合を有するシラン原料ガスを用いることができる。

20

【0071】

触媒ガスとしては、ピリジンガスの他、例えば、アミノピリジンガス、ピコリンガス、ルチジンガス、ピペラジンガス、ピペリジンガス等の環状アミン系ガスや、TEAガス、DEAガス、MEAガス、TMAガス、MMAガス等の鎖状アミン系ガスや、NH₃ガス等の非アミン系ガスを用いることができる。

【0072】

不活性ガスとしては、N₂ガスの他、例えば、Arガス、Heガス、Neガス、Xeガス等の希ガスを用いることができる。

【0073】

[ステップ2]

このステップでは、処理室201内のウエハ200に対してH₂Oガスとピリジンガスとを供給する。

30

【0074】

バルブ243b, 243c, 243d~243fの開閉制御を、ステップ1におけるバルブ243a, 243c, 243d~243fの開閉制御と同様の手順で行う。H₂Oガス、ピリジンガスは、それぞれ、MFC241b, 241cにより流量調整され、ノズル249b, 249cを介して処理室201内に供給され、処理室201内に供給された後に混合(Post-mix)し、排気管231から排気される。また、ノズル249a内へのH₂Oガス等の侵入を防止するN₂ガスが、ガス供給管232a、ノズル249aを介して処理室201内へ供給され、排気管231から排気される。

40

【0075】

このとき、MFC241bで制御するH₂Oガスの供給流量は、例えば10~10000sccm、好ましくは100~1000sccmの範囲内の流量とする。MFC241cで制御するピリジンガスの供給流量は、例えば1~2000sccm、好ましくは10~1000sccmの範囲内の流量とする。H₂Oガスおよびピリジンガスをウエハ200に対して供給する時間、すなわち、ガス供給時間(照射時間)は、例えば1~100秒、好ましくは5~60秒の範囲内の時間とする。その他の処理条件は、例えば、ステップ1と同様な処理条件とする。なお、ステップ2で供給するピリジンガスの量と、ステップ1で供給するピリジンガスの量とは、それぞれ独立に調整することが可能である。例えば、ステップ1, 2におけるピリジンガスの供給量は、同一としてもよく、異ならせてもよ

50

い。

【0076】

上述の条件下でウエハ200に対してH₂Oガスを供給することで、ステップ1でウエハ200上に形成された第1の層(CおよびClを含むSi含有層)の少なくとも一部が酸化(改質)される。第1の層が改質されることで、Si、OおよびCを含む第2の層、すなわち、シリコン酸炭化層(SiOC層)が形成されることとなる。第2の層を形成する際、第1の層中に含まれるSi-C結合の少なくとも一部は、切断されることなく保持され、第2の層中にそのまま取り込まれる(残存する)こととなる。第2の層を形成する際、第1の層に含まれていたCl等の不純物は、H₂Oガスによる改質反応の過程において、少なくともClを含むガス状物質を構成し、処理室201内から排出される。すなわち、第1の層中のCl等の不純物は、第1の層中から引き抜かれたり、脱離したりすることで、第1の層から分離する。これにより、第2の層は、第1の層に比べてCl等の不純物が少ない層となる。

10

【0077】

ピリジンガスは、H₂Oガスが有するO-H結合の結合力を弱め、H₂Oガスの分解を促し、H₂Oガスと第1の層との反応による第2の層の形成を促進させる触媒ガス(第2の触媒ガス)として作用する。例えば、ピリジンガスは、H₂Oガスの有するO-H結合に作用し、その結合力を弱めるように作用する。結合力の弱まったHと、ウエハ200上に形成された第1の層が有するClと、が反応することで、Cl、Hを含むガス状物質が生成され、H₂O分子からHが脱離すると共に、第1の層からClが脱離することとなる。Hを失ったH₂OガスのOは、Clが脱離して少なくともCの一部が残った第1の層のSiと結合する。これにより、ウエハ200上に、酸化された第1の層、すなわち、第2の層が形成されることとなる。

20

【0078】

ピリジンガスの触媒作用により、H₂Oガスが有するO-H結合の結合力が弱まるのは、ピリジン分子中の孤立電子対を有するNが、Hを引きつけるように作用するためである。上述したように、pKaが大きい化合物は、Hを引き付ける力が強くなる。pKaが5以上の化合物を触媒ガスとして用いることで、H₂Oガスが有するO-H結合の結合力を適正に弱めることができ、上述の酸化反応を促進させることが可能となる。但し、pKaが過度に大きな化合物を触媒ガスとして用いると、第1の層から引き抜かれたClと触媒ガスとが反応してNH₄Cl等の塩が発生する場合がある。そのため、pKaが例えば11以下、好ましくは7以下である化合物を触媒ガスとして用いるのが好ましい。ピリジンガスは、pKaが約5.67と比較的大きく、また、7以下であることから、触媒ガスとして好適に用いることが可能である。この点は、ステップ1と同様である。

30

【0079】

第2の層が形成された後、バルブ243b, 243cを閉じ、処理室201内へのH₂Oガス、ピリジンガスの供給をそれぞれ停止する。そして、ステップ1と同様の処理手順により、処理室201内に残留する未反応もしくは第2の層の形成に寄与した後のH₂Oガス、ピリジンガス、反応副生成物等を処理室201内から排除する。このとき、処理室201内に残留するガス等を完全に排除しなくてもよい点は、ステップ1と同様である。

40

【0080】

反応ガスとしては、H₂Oガスの他、例えば、過酸化水素(H₂O₂)ガス等のO-H結合を含むO含有ガスを用いることができる。また、反応ガスとしては、O-H結合非含有のO含有ガス、例えば、酸素(O₂)ガス、オゾン(O₃)ガス、水素(H₂)ガス+O₂ガス、H₂ガス+O₃ガス等を用いることもできる。

【0081】

触媒ガスとしては、ピリジンガスの他、例えば、上述の各種のアミン系ガスや、非アミン系ガスを用いることができる。すなわち、ステップ2で用いる触媒ガスとしては、ステップ1で用いる触媒ガスと同一の分子構造(化学構造)を有するガス、すなわち、マテリアルの等しいガスを用いることができる。また、ステップ2で用いる触媒ガスとしては、

50

ステップ1で用いる触媒ガスと異なる分子構造を有するガス、すなわち、マテリアルの異なるガスを用いることもできる。

【0082】

不活性ガスとしては、 N_2 ガスの他、例えば、上述の各種希ガスを用いることができる。

【0083】

(所定回数実施)

上述したステップ1, 2を非同時に、すなわち、同期させることなく交互に行うサイクルを1回以上(所定回数)行うことにより、ウエハ200上に、所定組成および所定膜厚のSiOC膜を形成することができる。上述のサイクルは、複数回繰り返すのが好ましい。すなわち、1サイクルあたりに形成する第2の層(SiOC層)の厚さを所望の膜厚よりも小さくし、第2の層を積層することで形成されるSiOC膜の膜厚が所望の膜厚になるまで、上述のサイクルを複数回繰り返すのが好ましい。

10

【0084】

なお、上述の成膜ステップを実施すると、反応管203の内壁やポート217の表面等に、水分(H_2O)や水分を含む反応副生成物等が付着(吸着)することがある。そして、次の成膜ステップを行っているときに、反応管203の内壁やポート217の表面等や、これらに付着した反応副生成物等から、水分が脱離することがある。以下、反応管203の内壁やポート217の表面等から脱離した(する)水分や、反応管203の内壁やポート217の表面等に付着した反応副生成物から脱離した(する)水分を、便宜上、「反応管203の内壁等から脱離した(する)水分」等と称することとする。次の成膜ステップ、特に、BTCSMガスとピリジンガスとを供給するステップ1を行っている際に反応管203の内壁等から脱離する水分は、SiOC膜の成膜レートや膜質に影響を与えることがある。

20

【0085】

例えば、上述の成膜シーケンスによりSiOC膜を形成するバッチ処理を繰り返す際、反応管203の内壁等から脱離した水分の影響により、SiOC膜の成膜レートが低下したり、膜質が変化したりすることがある。この要因の一つとして、反応管203の内壁等から脱離した水分が、ウエハ200上へのBTCSMの吸着を阻害することが挙げられる。反応管203の内壁等から脱離した水分に含まれるOH基は、反応性が高く(吸着しやすく)、不安定な特性を有している。これに対し、BTCSMは、熱分解温度が高く(分解しにくく)、反応性が低い(吸着しにくい)特性を有している。BTCSMガスとピリジンガスとを供給するステップ1において、反応管203の内壁等から水分が脱離すると、この脱離した水分に含まれるOH基によって、ウエハ200表面に存在する吸着サイト、すなわち、BTCSMが吸着するはずであった吸着サイトが奪われてしまうことがある。その結果、ウエハ200上へのBTCSMの化学吸着、すなわち、第1の層の形成が阻害されてしまうことがある。また、第1の層の形成が阻害されることで、例えば、第1の層の厚さが薄くなり、第2の層で行われる酸化処理の度合も変化することとなる。結果として、最終的に形成されるSiOC膜の組成、すなわち、膜質も、バッチ処理を繰り返すことで徐々に変化することとなる。例えば、バッチ処理を繰り返すことで膜中のO濃度が増加し、C濃度が減少する場合がある。そして、SiOC膜のエッチング耐性が低下することがある。

30

40

【0086】

なお、原料ガスとして、BTCSMガスよりも熱分解温度が低く(分解しやすく)、反応性が高い(吸着しやすい)HCDSガス等を用いる場合、反応管203の内壁等から脱離した水分がもたらす影響は、上述の場合とは異なってくる。

【0087】

例えば、ウエハ200に対してHCDSガスとピリジンガスとを供給するステップと、ウエハ200に対して H_2O ガスとピリジンガスとを供給するステップと、を非同時に行うことで、ウエハ200上に、SiおよびOを含む膜として、シリコン酸化膜(SiO膜

50

)を形成することができる。この成膜ステップを実施した場合においても、反応管203の内壁等に、水分や水分を含む反応副生成物等が付着することがある。そして、次の成膜ステップを行っているときに、反応管203の内壁等から水分が脱離することがある。次の成膜ステップ、特に、HCDSガスとピリジンガスを供給するステップ1を行っている際に反応管203の内壁等から脱離する水分は、SiO膜の成膜レートや膜質に影響を与えることがある。すなわち、上述の成膜シーケンスによりSiO膜を形成するバッチ処理を繰り返す際、反応管203の内壁等から脱離した水分の影響により、SiO膜の成膜レートが増加したり、膜質が変化したりすることがある。この要因の一つとして、反応管203の内壁等から脱離したH₂Oが、処理室201内でCVD反応を生じさせることが挙げられる。HCDSガスとピリジンガスを供給するステップにおいて、反応管203の内壁等から脱離したH₂Oと、処理室201内に供給されたHCDSと、が気相反応し、これにより、ウエハ200上に、Oを含むSi含有層(CVD層)が堆積することがある。このCVD層の厚さは、気相反応を生じさせることなくウエハ200上に形成されるSi含有層の厚さよりも大きくなる。これにより、成膜レートが増加するのである。また、バッチ処理を繰り返すことで、ステップ1で形成する層中に添加されるOの量の変動し、膜中のO濃度の変動することがある。

10

【0088】

ここで述べた課題は、H₂OガスのようなOH基を含むガスを用いる成膜処理に特有の課題であり、発明者等の鋭意研究により初めて明らかとなった新規課題である。

【0089】

20

(昇温ステップ、温度維持ステップ)

本実施形態では、上述の課題を解決するため、成膜ステップを実施した後、昇温ステップ、温度維持ステップを順に実施するようにしている。すなわち、温度維持ステップを、成膜ステップを実施した後の所定期間に行うようにしている。これにより、次のバッチ処理を開始するまでの間に、反応管203の内壁等に付着した水分や、反応管203の内壁等に付着した反応副生成物に含まれる水分(以下、これらを総称して、単に、「反応管203の内壁等に付着した水分」等と称することとする)を、処理室201内から除去することができ、上述の課題を解消することが可能となるのである。

【0090】

昇温ステップでは、処理室201内の温度を、上述の第1の温度よりも高い第2の温度へ変更(昇温)させるように、ヒータ207の出力を調整する。処理室201内の温度が第2の温度に到達したら、温度維持ステップを開始する。温度維持ステップでは、処理室201内の温度を第2の温度に維持するように、ヒータ207の温度を調整する。この際、処理室201内が所望の温度分布となるように、また、処理室201内の温度が一定に維持されるように、温度センサ263が検出した温度情報に基づきヒータ207への通電具合がフィードバック制御される。

30

【0091】

温度維持ステップにおける処理室201内の温度、すなわち、第2の温度は、例えば100以上600以下、好ましくは100以上300以下、より好ましくは100以上200以下の範囲内の温度とする。

40

【0092】

温度維持ステップにおいて、処理室201内の温度が100未満となると、反応管203の内壁等に付着した水分の処理室201内からの除去効率が低下し、処理室201内からの水分の除去が不十分となることがある。処理室201内の温度を100以上とすることで、反応管203の内壁等に付着した水分の気化を促すことができ、処理室201内からの水分の除去効率を高めることが可能となる。結果として、処理室201内からの水分の除去を充分に行うことが可能となる。

【0093】

温度維持ステップにおいて、処理室201内の温度を600を超える温度とするには、昇温ステップや後述する降温ステップにおいて多大な待機時間を要することとなり、基

50

板処理の生産性（スループット）が低下してしまうことがある。温度維持ステップにおける処理室201内の温度を600以下とすることで、これを解決することが可能となる。また、処理室201内の温度を300以下とすることで、昇温ステップや降温ステップにおける待機時間を十分に短縮させることができ、基板処理の生産性を十分に高めることが可能となる。また、処理室201内の温度を200以下とすることで、昇温ステップや降温ステップにおける待機時間をさらに短縮させることができ、基板処理の生産性を、昇温ステップや温度維持ステップを行わない場合と同程度の生産性にまで高めることが可能となる。発明者等は、処理室201内の温度を200程度とした場合、処理室201内からの水分の除去効率を最も高めることができることを確認している。

【0094】

10

よって、温度維持ステップにおける処理室201内の温度（第2の温度）は、100以上600以下、好ましくは100以上300以下、より好ましくは100以上200以下の範囲内の温度とするのがよい。

【0095】

温度維持ステップを開始した後、所定期間が経過したら、処理室201内の温度を第2の温度に維持した状態で、搬出ステップを開始する。言い換えれば、温度維持ステップは、搬出ステップを実施する前に開始する。搬出ステップでは、ポートエレベータ115によりシールキャップ219を下降させ、マニホールド209の下端を開口させる。そして、処理済のウエハ200を、ポート217に支持させた状態で、マニホールド209の下端から反応管203の外部に搬出させる（ポートアンロード）。ポートアンロードの後には、シャッタ219sが移動させられ、マニホールド209の下端開口がリング220cを介してシャッタ219sによりシールされる（シャッタクローズ）。処理済のウエハ200は、反応管203の外部に搬出された後、ポート217より取出されることとなる（ウエハディスチャージ）。なお、ウエハディスチャージの後には、処理室201内に空のポート217を再び搬入するようにしてもよい。

20

【0096】

温度維持ステップは、搬出ステップを実施した後の所定期間経過後まで継続する。温度維持ステップは、SiOC膜形成後のウエハ200を処理室201内より搬出する前から、このウエハ200を処理室201内より搬出した後の所定期間経過後まで継続されることとなる。温度維持ステップは、少なくとも処理室201内にウエハ200が存在しない状態

30

【0097】

また、上述したように、昇温ステップおよび温度維持ステップは、処理済みのウエハ200を処理室201外へ搬出する搬出ステップを行う前に開始される。すなわち、本実施形態では、温度維持ステップは、処理室201内にウエハ200が存在しない状態で実施されるだけでなく、処理室201内にウエハ200が存在する状態でも実施されることとなる。なお、温度維持ステップを、処理室201内にウエハ200が存在する状態でも実施することで、ウエハ200上に形成したSiOC膜を改質することが可能となる。すなわち、成膜ステップにおけるウエハ200の温度（第1の温度）よりも高い温度（第2の温度）でSiOC膜を熱処理することにより、SiOC膜中から、水分やCl等の不純物を除去することが可能となる。

40

【0098】

昇温ステップおよび温度維持ステップでは、APCバルブ244、および、バルブ243d~243fをそれぞれ開き、ガス供給管232d~232fのそれぞれからN₂ガスを処理室201内へ供給し、排気管231から排気する。これにより、処理室201内がN₂ガスによってパーズされ、処理室201内からの水分の除去を促すことが可能となる。

【0099】

また、N₂ガスの代わりに、もしくは、N₂ガスと一緒に、メタノール（CH₃OH）やエタノール（CH₃CH₂OH）やイソプロピルアルコール（（CH₃）₂CHOH、

50

略称：IPA)等のアルコールを供給するようにしてもよい。これにより、処理室201内からの水分の除去をさらに促すことが可能となる。

【0100】

また、搬出ステップを実施した後の期間、すなわち、処理室201内にウエハ200が存在しない状態においては、 N_2 ガスの代わりに、もしくは、 N_2 ガスと一緒に、フッ素(F_2)ガスを供給するようにしてもよい。この場合においても、処理室201内からの水分の除去をさらに促すことが可能となる。なお、低温下では、処理室201内に F_2 ガスを供給してもエッチング反応は生じることがなく、水分の除去を促進する反応だけが生じることとなる。

【0101】

処理室201内へ N_2 ガスやアルコールや F_2 ガスを供給する際、これらの物質の処理室201内への供給を間欠的に行うようにしてもよい。すなわち、処理室201内の真空引き(バキューム)と N_2 ガスパーズとを交互に繰り返すようにしてもよい(サイクルパーズ)。また、処理室201内の真空引きとアルコールパーズとを交互に繰り返すようにしてもよい。また、処理室201内の真空引きと F_2 パーズとを交互に繰り返すようにしてもよい。これらにより、処理室201内からの水分の除去をさらに促すことが可能となる。処理室201内へアルコールや F_2 ガスを供給した後は、 N_2 ガスを処理室201内へ供給し、排気管231から排気する。この場合においても、サイクルパーズを行うようにしてもよい。

【0102】

なお、搬出ステップを実施する前に、APCバルブ244の開度を調整し、処理室201内の圧力を常圧に復帰させておくことが好ましい。また、搬出ステップを実施する期間中は、処理室201内の圧力を常圧に維持することが好ましい。このようにすることで、処理室201内への大気への侵入、すなわち、大気中に含まれる水分の侵入を抑制することが可能となる。

【0103】

また、搬出ステップを除く期間、すなわち、搬出ステップを実施する前の期間、および、搬出ステップを実施した後の期間においては、APCバルブ244を全開とし、処理室201内を真空排気するようにしてもよい。処理室201内を真空排気して処理室201内を減圧状態とすることで、反応管203の内壁等に付着した水分の気化を促すことができ、処理室201内からの水分の除去をさらに促進させることが可能となる。

【0104】

また、搬出ステップを実施する前の期間、すなわち、処理室201内にウエハ200が存在する状態においては、回転機構267によるポート217およびウエハ200の回転を継続しておくのが好ましい。このようにすることで、ウエハ200上に形成したSiOC膜に対する上述の改質処理を、ウエハ200の面内全域にわたり均一に行うことが可能となる。また、ポート217の表面からの水分の脱離を、ポート217の表面全域にわたりまんべんなく行うことが可能となる。

【0105】

また、搬出ステップを実施した後の期間において、空のポート217を処理室201内に搬入した場合においても、回転機構267によるポート217の回転を継続しておくのが好ましい。このようにすることで、ポート217の表面からの水分の脱離を、ポート217の表面全域にわたりまんべんなく行うことが可能となる。

【0106】

(降温ステップ)

反応管203の内壁等に付着した水分の処理室201内からの除去が完了したら、処理室201内の温度を、第2の温度よりも低い温度、好ましくは、第1の温度に変更(降温)させるように、ヒータ207の出力を調整する。処理室201内の降温が完了したら、上述したバッチ処理、すなわち、搬入ステップから降温ステップまでの一連の処理を再び行う。このように、降温ステップは、次のバッチ処理で処理するウエハ200を処理室2

10

20

30

40

50

01内へ搬入する前に行うこととする。

【0107】

(3) 本実施形態による効果

本実施形態によれば、以下に示す1つ又は複数の効果が得られる。

【0108】

(a) 成膜ステップを実施した後の所定期間において温度維持ステップを実施することで、反応管203の内壁等に付着した水分を、処理室201内から除去することが可能となる。これにより、バッチ処理を繰り返し行った際の成膜レートの低下や膜質の変化を回避することが可能となる。すなわち、 H_2O ガスのようなOH基を含むガスを成膜処理に用いる場合であっても、成膜レートや膜質を安定化させることが可能となる。

10

【0109】

(b) 温度維持ステップを搬出ステップを実施する前に開始することで、処理室201内を第2の温度に維持する時間を、温度維持ステップを搬出ステップを実施した後に開始するよりも、長く確保することができるようになる。これにより、処理室201内からの水分除去をより確実に行うことが可能となる。

【0110】

また、温度維持ステップが、処理室201内に処理済みのウエハ200を保持したポート217が存在する状態で実施されることとなり、ポート217の表面からの水分除去を、より確実に行うことが可能となる。

【0111】

また、温度維持ステップが、処理室201内に処理済みのウエハ200が存在する状態で実施されることとなり、ウエハ200上に形成したSiOC膜に対して熱処理を行うことができ、この膜を改質することが可能となる。

20

【0112】

(c) 昇温ステップおよび温度維持ステップをバッチ処理を行う毎に行うことで、反応管203の内壁等に付着した水分を、処理室201内からより確実に除去することが可能となる。すなわち、成膜ステップと、昇温ステップと、温度維持ステップと、降温ステップと、を1セットとしてこのセットを複数回繰り返すことで、処理室201内における水分の残留をより確実に回避することが可能となる。これにより、成膜レートや膜質をより確実に安定化させることが可能となる。

30

【0113】

(d) 降温ステップを、次のバッチ処理で処理するウエハ200を処理室201内へ搬入する前に行うことで、ウエハ200の温度が第1の温度となって安定するまでの時間、すなわち、温度・圧力調整ステップにおける待機時間を短縮させることが可能となる。結果として、次の成膜ステップを迅速に開始することが可能となり、基板処理の生産性を向上させることが可能となる。

【0114】

(e) 上述の各効果は、原料ガスとしてBTCSMガス以外のガスを用いる場合や、反応ガスとして H_2O ガス以外のガスを用いる場合や、触媒ガスとしてピリジンガス以外のガスを用いる場合にも、同様に得ることができる。

40

【0115】

(4) 変形例

本実施形態における基板処理のシーケンスは、図5(a)に示す態様に限定されず、以下に示す変形例のように変更することができる。

【0116】

(変形例1)

図5(b)に示すように、搬出ステップを温度維持ステップの後半、好ましくは終期(降温ステップを開始する直前)に実施するようにしてもよい。この場合においても、図5(a)に示す基板処理シーケンスと同様の効果が得られる。また、搬出ステップを上述のタイミングで実施することで、搬出ステップを温度維持ステップの前半に実施するよりも

50

、ウエハ200上に形成したSiOC膜に対する熱処理の時間を長く確保することが可能となる。結果として、SiOC膜の改質、すなわち、膜中からの不純物の除去をより確実に行うことが可能となる。また、ポート217の表面からの水分の除去をより確実にすることも可能となる。

【0117】

(変形例2)

図5(c)に示すように、搬出ステップと昇温ステップとを同時に行い、これらのステップが完了した後に、温度維持ステップを実施するようにしてもよい。すなわち、温度維持ステップを、搬出ステップの実施後に開始してもよい。この場合においても、図5(a)に示す基板処理シーケンスと同様の効果が得られる。また、搬出ステップを上述のタイミ

10

【0118】

(変形例3)

図5(d)に示すように、搬出ステップを実施した後に、昇温ステップと温度維持ステップとを行うようにしてもよい。すなわち、温度維持ステップを、搬出ステップの実施後に開始し、処理室201内にウエハ200が存在しない状態でのみ行うようにしてもよい。この場合においても、図5(a)に示す基板処理シーケンスと同様の効果が得られる。また、搬出ステップを上述のタイミングで実施することで、成膜処理後のウエハ200に加わる熱量を低減させることができ、ウエハ200が受ける熱履歴の制御を良好に行うことが可能となる。

20

【0119】

<本発明の他の実施形態>

以上、本発明の実施形態を具体的に説明した。しかしながら、本発明は上述の実施形態に限定されるものではなく、その要旨を逸脱しない範囲で種々変更可能である。

【0120】

上述の実施形態等では、原料ガスと触媒ガスとを供給した後、OH基を含有するガスと触媒ガスとを供給する例について説明した。本発明はこのような態様に限定されず、これらの供給順序は逆でもよい。すなわち、OH基を含有するガスと触媒ガスとを供給した後、原料ガスと触媒ガスとを供給するようにしてもよい。供給順序を変えることにより、形成される膜の膜質や組成比を変化させることが可能となる。

30

【0121】

また、上述の実施形態等では、第1の層を第2の層へと変化させる際、触媒ガスと共に熱で活性化させた反応ガスを用いる例、すなわち、触媒ガスと反応ガスとをノンプラズマの雰囲気下で供給する例について説明した。本発明はこの態様に限定されず、プラズマ励起させた反応ガスを供給するようにしてもよい。すなわち、反応ガスをプラズマ雰囲気下で供給するようにしてもよい。このときの処理条件は、例えば上述の実施形態と同様な処理条件とすることができる。

40

【0122】

また、上述の実施形態等では、原料ガスとしてクロロシラン原料ガスを用いる例について説明した。本発明はこの態様に限定されず、クロロシラン原料ガス以外のハロシラン原料ガス、例えば、フルオロシラン原料ガスやプロモシラン原料ガス等を用いてもよい。このときの処理条件は、例えば上述の実施形態と同様な処理条件とすることができる。

【0123】

上述の実施形態の手法により形成したシリコン系絶縁膜を、サイドウォールスペーサとして使用することにより、リーク電流が少なく、加工性に優れたデバイス形成技術を提供することが可能となる。また、上述のシリコン系絶縁膜を、エッチストッパーとして使用することにより、加工性に優れたデバイス形成技術を提供することが可能となる。また、

50

上述の実施形態によれば、プラズマを用いず、理想的量論比のシリコン系絶縁膜を形成することができる。プラズマを用いずシリコン系絶縁膜を形成できることから、例えばDPTのSADP膜等、プラズマダメージを懸念する工程への適用も可能となる。

【0124】

上述の実施形態等では、ウエハ200上にSiOC膜を形成する例について説明した。本発明はこのような態様に限定されず、ウエハ200上に、SiO膜、シリコン酸窒化膜(SiOCN膜)、シリコン酸窒化膜(SiON膜)等のSi系酸化膜を形成する場合にも、好適に適用可能である。

【0125】

また、本発明は、ウエハ200上にゲルマニウム(Ge)を含む酸化膜、すなわち、Ge系酸化膜を形成する場合においても、好適に適用可能である。すなわち、本発明は、ウエハ200上に、ゲルマニウム酸炭化膜(GeOC膜)、ゲルマニウム酸化膜(GeO膜)、ゲルマニウム酸窒化膜(GeOCN膜)、ゲルマニウム酸窒化膜(GeON膜)を形成する場合にも好適に適用可能である。

10

【0126】

このように、本発明は、ウエハ200上に、SiやGe等の半導体元素を含む半導体酸化膜、すなわち、半導体系酸化膜を形成する場合に、好適に適用可能である。

【0127】

また、本発明は、ウエハ200上に、チタン(Ti)、ジルコニウム(Zr)、ハフニウム(Hf)、タンタル(Ta)、ニオブ(Nb)、アルミニウム(Al)、モリブデン(Mo)、タングステン(W)等の金属元素を含む酸化膜、すなわち、金属系酸化膜を形成する場合においても、好適に適用可能である。すなわち、本発明は、ウエハ200上に、TiOC膜、TiO膜、TiOCN膜、TiON膜、ZrOC膜、ZrO膜、ZrOCN膜、ZrON膜、HfOC膜、HfO膜、HfOCN膜、HfON膜、TaOC膜、TaO膜、TaOCN膜、TaON膜、NbOC膜、NbO膜、NbOCN膜、NbON膜、AlOC膜、AlO膜、AlOCN膜、AlON膜、MoOC膜、MoO膜、MoOCN膜、MoON膜、WOC膜、WO膜、WOCN膜、WON膜を形成する場合にも、好適に適用することが可能となる。

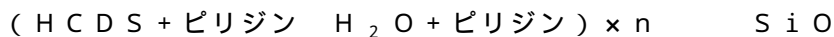
20

【0128】

例えば、原料ガスとして、HCDSガス、チタニウムテトラクロライド(TiCl4)ガス、テトラキス(ジメチルアミノ)チタン(Ti[N(CH3)2]4、略称:TDMAT)ガス、テトラキス(エチルメチルアミノ)ハフニウム(Hf[N(C2H5)(CH3)]4、略称:TEMAH)ガス、テトラキス(エチルメチルアミノ)ジルコニウム(Zr[N(C2H5)(CH3)]4、略称:TEMAZ)ガス、トリメチルアルミニウム(Al(CH3)3、略称:TMA)ガス等を用い、以下に示す成膜シーケンスにより、基板上に、SiO膜、チタン酸化膜(TiO膜)、ハフニウム酸化膜(HfO膜)、ジルコニウム酸化膜(ZrO膜)、アルミニウム酸化膜(AlO膜)を形成する場合においても、本発明は好適に適用可能である。

30

【0129】



40

【0130】



【0131】



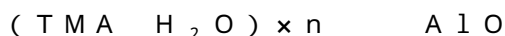
【0132】



【0133】



【0134】



50

【0135】

このときの処理手順、処理条件は、例えば上述の実施形態と同様な処理手順、処理条件とすることができる。これらの場合においても、上述の実施形態や変形例と同様の効果が得られる。

【0136】

すなわち、本発明は、半導体元素や金属元素を含む酸化膜を形成する場合に好適に適用することができる。すなわち、本発明は、OH基を含むガスを用いた成膜処理の全般に適用することが可能である。

【0137】

基板処理に用いられるレシピ（処理手順や処理条件等が記載されたプログラム）は、処理内容（形成する膜の膜種、組成比、膜質、膜厚、処理手順、処理条件等）に応じて個別に用意し、電気通信回線や外部記憶装置123を介して記憶装置121c内に格納しておくことが好ましい。そして、基板処理を開始する際、CPU121aが、記憶装置121c内に格納された複数のレシピの中から、処理内容に応じて適正なレシピを適宜選択することが好ましい。これにより、1台の基板処理装置で様々な膜種、組成比、膜質、膜厚の膜を、再現性よく形成することができるようになる。また、オペレータの負担（処理手順や処理条件等の入力負担等）を低減でき、操作ミス回避しつつ、基板処理を迅速に開始できるようになる。

10

【0138】

上述のプロセスレシピは、新たに作成する場合に限らず、例えば、基板処理装置に既にインストールされていた既存のレシピを変更することで用意してもよい。レシピを変更する場合は、変更後のレシピを、電気通信回線や当該レシピを記録した記録媒体を介して、基板処理装置にインストールしてもよい。また、既存の基板処理装置が備える入出力装置122を操作し、基板処理装置に既にインストールされていた既存のレシピを直接変更するようにしてもよい。

20

【0139】

上述の実施形態では、一度に複数枚の基板を処理するバッチ式の基板処理装置を用いて膜を形成する例について説明した。本発明は上述の実施形態に限定されず、例えば、一度に1枚または数枚の基板を処理する枚葉式の基板処理装置を用いて膜を形成する場合にも、好適に適用できる。また、上述の実施形態では、ホットウォール型の処理炉を有する基板処理装置を用いて膜を形成する例について説明した。本発明は上述の実施形態に限定されず、コールドウォール型の処理炉を有する基板処理装置を用いて膜を形成する場合にも、好適に適用できる。

30

【0140】

例えば、図11に示す処理炉302を備えた基板処理装置を用いて膜を形成する場合にも、本発明は好適に適用できる。処理炉302は、処理室301を形成する処理容器303と、処理室301内へガスをシャワー状に供給するシャワーヘッド303sと、1枚または数枚のウエハ200を水平姿勢で支持する支持台317と、支持台317を下方から支持する回転軸355と、支持台317に設けられたヒータ307と、を備えている。シャワーヘッド303sのインレット（ガス導入口）には、上述の原料ガスを供給するガス供給ポート332aと、上述の反応ガスを供給するガス供給ポート332bと、上述の触媒ガスを供給するガス供給ポート332cと、が接続されている。ガス供給ポート332aには、上述の実施形態の原料ガス供給系と同様のガス供給系が接続されている。ガス供給ポート332bには、上述の実施形態の反応ガス供給系と同様のガス供給系が接続されている。ガス供給ポート332cには、上述の実施形態の触媒ガス供給系と同様のガス供給系が接続されている。シャワーヘッド303sのアウトレット（ガス排出口）には、処理室301内へガスをシャワー状に供給するガス分散板が設けられている。処理容器303には、処理室301内を排気する排気ポート331が設けられている。排気ポート331には、上述の実施形態の排気系と同様の排気系が接続されている。

40

【0141】

50

また例えば、図12に示す処理炉402を備えた基板処理装置を用いて膜を形成する場合にも、本発明は好適に適用できる。処理炉402は、処理室401を形成する処理容器403と、1枚または数枚のウエハ200を水平姿勢で支持する支持台417と、支持台417を下方から支持する回転軸455と、処理容器403内のウエハ200に向けて光照射を行うランプヒータ407と、ランプヒータ407の光を透過させる石英窓403wと、を備えている。処理容器403には、上述の原料ガスを供給するガス供給ポート432aと、上述の反応ガスを供給するガス供給ポート432bと、上述の触媒ガスを供給するガス供給ポート432cと、が接続されている。ガス供給ポート432aには、上述の実施形態の原料ガス供給系と同様のガス供給系が接続されている。ガス供給ポート432bには、上述の実施形態の反応ガス供給系と同様のガス供給系が接続されている。ガス供給ポート432cには、上述の実施形態の触媒ガス供給系と同様のガス供給系が接続されている。処理容器403には、処理室401内を排気する排気ポート431が設けられている。排気ポート431には、上述の実施形態の排気系と同様の排気系が接続されている。

10

【0142】

これらの基板処理装置を用いる場合においても、上述の実施形態と同様なシーケンス、処理条件にて成膜処理を行うことができる。

【0143】

また、上述の実施形態や変形例は、適宜組み合わせ用いることができる。また、このときの処理条件は、例えば、上述の実施形態や変形例と同様な処理条件とすることができる。

20

【実施例】

【0144】

以下、上述の実施形態や変形例で得られる効果を裏付ける実験結果について説明する。

【0145】

実施例として、上述の基板処理装置を用い、図4に示す成膜シーケンスによりウエハ上にSiOC膜を成膜するバッチ処理を複数回繰り返した。成膜ステップでは、原料ガスとしてBTCMガスを、OH基を含むガスとしてH₂Oガスを、触媒ガスとしてピリジンガスを用いた。第1の温度は50～70の範囲内の温度とした。成膜ステップを実施した後は、バッチ処理を繰り返す毎に、図5(a)に示す基板処理シーケンスと同様、昇温ステップ、温度維持ステップ、降温ステップを実施した。第2の温度は100～200の範囲内の温度とした。他の処理条件は、上述の実施形態に記載の条件範囲内の条件とした。

30

【0146】

比較例として、上述の基板処理装置を用い、図4に示す成膜シーケンスによりウエハ上にSiOC膜を成膜するバッチ処理を複数回繰り返した。成膜ステップを実施した後は、昇温ステップ、温度維持ステップ、降温ステップを不実施とした。処理条件は実施例と同様とした。

【0147】

図10(a)は、実施例および比較例における成膜レートの評価結果を示す図である。図10(a)の横軸は各バッチ処理で形成したSiOC膜の累積膜厚[]を示している。図10(a)の縦軸はSiOC膜の成膜レートを、1回目のバッチ処理における成膜レートを基準として任意単位[a . u .]で示している。図10(a)において、印は実施例におけるSiOC膜を、印は比較例におけるSiOC膜をそれぞれ示している。図10(a)によれば、昇温ステップおよび温度維持ステップを不実施とした比較例においては、バッチ処理を繰り返すことで成膜レートが低下し、不安定となっていることが分かる。これに対し、昇温ステップおよび温度維持ステップを実施した実施例においては、バッチ処理を繰り返した場合においても成膜レートが低下せず、成膜レートを一定の値に維持できていることが分かる。

40

【0148】

50

図10(b)は、バッチ処理を繰り返すことで形成されたSiOC膜のエッチング耐性の評価結果を示す図である。図10(b)の縦軸は、濃度1%のHF水溶液を用いてSiOC膜をエッチングした際のウエットエッチングレート[$\mu\text{m}/\text{min}$]を示している。図10(b)の横軸は、実施例と比較例とを示している。この図に示されるように、昇温ステップおよび温度維持ステップを実施して形成した実施例のSiOC膜の方が、昇温ステップおよび温度維持ステップを不実施として形成した比較例のSiOC膜よりも、ウエットエッチングレートが小さいこと、すなわち、エッチング耐性が高いことが分かる。

【0149】

これらの結果から、成膜ステップを実施した後の所定期間において温度維持ステップを実施することで、成膜レートを安定化させ、また、優れた膜質を有する膜を形成することが可能であることが分かる。

10

【0150】

<本発明の好ましい態様>

以下、本発明の好ましい態様について付記する。

【0151】

(付記1)

本発明の一態様によれば、

第1の温度とした処理室内の基板に対して、少なくともOH基を含むガスを供給して、前記基板上に膜を形成する工程と、

前記処理室内の温度を、前記第1の温度から前記第1の温度よりも高い第2の温度へ変更(昇温)する工程と、

20

少なくとも前記処理室内に前記基板がない状態で、前記処理室内を前記第2の温度に維持する工程と、

を有する半導体装置の製造方法、または、基板処理方法が提供される。

【0152】

(付記2)

付記1に記載の方法であって、好ましくは、

前記処理室内を前記第2の温度に維持する工程を、少なくとも前記膜を形成する工程後の所定期間に行う。

【0153】

30

(付記3)

付記1または2に記載の方法であって、好ましくは、

前記処理室内を前記第2の温度に維持する工程を、前記処理室内に前記基板がある状態でも行う。すなわち、前記処理室内を前記第2の温度に維持する工程を、前記処理室内に前記基板がある状態と、前記処理室内に前記基板がない状態と、の両方の状態で行う。

【0154】

(付記4)

付記1乃至3のいずれかに記載の方法であって、好ましくは、

前記処理室内を前記第2の温度に維持する工程を、前記膜形成後の前記基板を前記処理室内から搬出する前に開始する。

40

【0155】

(付記5)

付記4に記載の方法であって、好ましくは、

前記処理室内を前記第2の温度に維持する工程を、前記膜形成後の前記基板を前記処理室内から搬出する際も継続する。すなわち、前記処理室内を前記第2の温度に維持する工程を、少なくとも前記膜形成後の前記基板を前記処理室内より搬出する前から搬出する時まで継続する。

【0156】

(付記6)

付記4または5に記載の方法であって、好ましくは、

50

前記処理室内を前記第2の温度に維持する工程を、前記膜形成後の前記基板を前記処理室内から搬出した後も継続する。すなわち、前記処理室内を前記第2の温度に維持する工程を、少なくとも前記膜形成後の前記基板を前記処理室内より搬出する前から搬出した後まで継続する。

【0157】

(付記7)

付記4乃至6のいずれかに記載の方法であって、好ましくは、

前記処理室内を前記第2の温度に維持する工程を、前記膜形成後の前記基板を前記処理室内から搬出した後の所定期間経過後まで継続する。すなわち、前記処理室内を前記第2の温度に維持する工程を、前記膜形成後の前記基板を前記処理室内より搬出する前から搬出した後の所定期間経過後まで継続する。

10

【0158】

(付記8)

付記2に記載の方法であって、好ましくは、

前記処理室内を前記第2の温度に維持する工程を、前記膜形成後の前記基板を前記処理室内から搬出した後に開始する。

【0159】

(付記9)

付記8に記載の方法であって、好ましくは、

前記処理室内を前記第2の温度に維持する工程を、前記膜形成後の前記基板を前記処理室内から搬出した後の所定期間経過後まで継続する。

20

【0160】

(付記10)

付記1乃至9のいずれかに記載の方法であって、好ましくは、

前記処理室内の温度を、前記第2の温度から前記第1の温度へ変更(降温)する工程をさらに有する。好ましくは、次に処理する基板を前記処理室内へ搬入する前に、この工程を行う。

【0161】

(付記11)

付記10に記載の方法であって、好ましくは、

前記膜を形成する工程と、
前記処理室内の温度を前記第2の温度へ変更(昇温)する工程と、
前記処理室内を前記第2の温度に維持する工程と、
前記処理室内の温度を前記第1の温度へ変更(降温)する工程と、
を1セットとしてこのセットを複数回繰り返す。すなわち、前記処理室内を前記第2の温度に維持する工程を、前記膜を形成する工程を行う毎に行う。

30

【0162】

(付記12)

付記1乃至11のいずれかに記載の方法であって、好ましくは、

前記第1の温度が10 以上90 以下、好ましくは25 (室温)以上70 以下、
より好ましくは50 以上70 以下である。

40

【0163】

(付記13)

付記1乃至12のいずれかに記載の方法であって、好ましくは、

前記第2の温度が100 以上600 以下、好ましくは100 以上300 以下、
より好ましくは100 以上200 以下である。

【0164】

(付記14)

付記1乃至13のいずれかに記載の方法であって、好ましくは、

前記膜を形成する工程では、前記基板に対して、少なくとも原料ガスと、前記OH基を

50

含むガスと、を供給する。この場合、前記膜として酸化膜が形成される。

【0165】

(付記15)

付記1乃至14のいずれかに記載の方法であって、好ましくは、前記膜を形成する工程では、前記基板に対して、少なくとも原料ガスと、前記OH基を含むガスと、触媒ガスと、を供給する。この場合、前記膜として酸化膜が形成される。

【0166】

(付記16)

付記1乃至15のいずれかに記載の方法であって、好ましくは、前記膜を形成する工程では、前記基板に対して、原料ガスと触媒ガスとを供給する工程と、前記基板に対して、前記OH基を含むガスと、触媒ガスと、を供給する工程と、を非同時に行うサイクルを所定回数行う。この場合、前記膜として酸化膜が形成される。

10

【0167】

(付記17)

付記14乃至16のいずれかに記載の方法であって、好ましくは、前記原料ガスは、半導体元素および金属元素からなる群より選択される少なくとも1つの元素と炭素との化学結合を含む。半導体元素はSi, Ge等を含む。金属元素はTi, Zr, Hf, Nb, Ta, Mo, W等の遷移金属元素やAl等の典型金属元素を含む。この場合、前記膜として炭素がドーブ(添加)された酸化膜、すなわち、炭素を含む酸化膜(酸炭化膜)が形成される。

20

【0168】

(付記18)

付記17に記載の方法であって、好ましくは、前記原料ガスは、さらにハロゲン基(F, Cl, Br, I)を含む。好ましくは、前記ハロゲン基はクロロ基(Cl)を含む。

【0169】

(付記19)

本発明の他の態様によれば、基板を収容する処理室と、前記処理室内の基板に対して少なくともOH基を含むガスを供給するガス供給系と、前記処理室内を加熱するヒータと、第1の温度とした前記処理室内の基板に対して、前記少なくともOH基を含むガスを供給して、前記基板上に膜を形成する処理と、前記処理室内の温度を、前記第1の温度から前記第1の温度よりも高い第2の温度へ変更する処理と、少なくとも前記処理室内に前記基板がない状態で、前記処理室内を前記第2の温度に維持する処理と、を行わせるように、前記ガス供給系および前記ヒータを制御するよう構成される制御部と、を有する基板処理装置が提供される。

30

【0170】

(付記20)

本発明のさらに他の態様によれば、第1の温度とした処理室内の基板に対して、少なくともOH基を含むガスを供給して、前記基板上に膜を形成する手順と、前記処理室内の温度を、前記第1の温度から前記第1の温度よりも高い第2の温度へ変更する手順と、少なくとも前記処理室内に前記基板がない状態で、前記処理室内を前記第2の温度に維持する手順と、をコンピュータに実行させるプログラム、または、該プログラムを記録したコンピュータ読み取り可能な記録媒体が提供される。

40

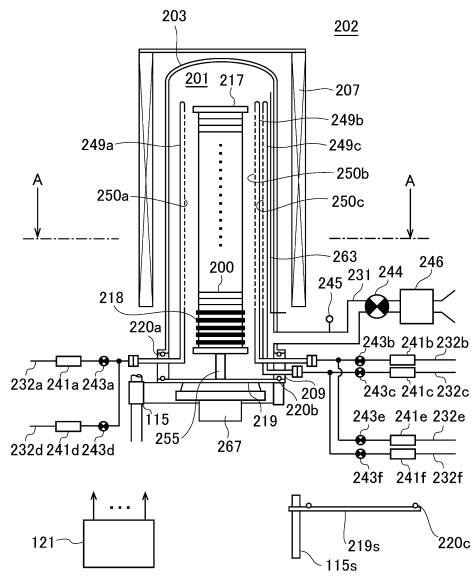
【符号の説明】

【0171】

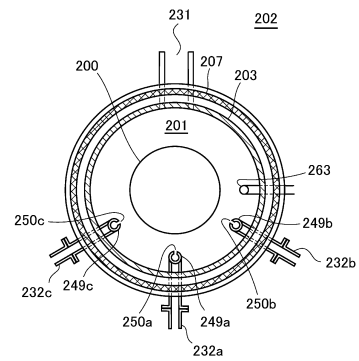
50

- 1 2 1 コントローラ (制御部)
- 2 0 0 ウエハ (基板)
- 2 0 1 処理室
- 2 0 2 処理炉
- 2 0 3 反応管
- 2 0 7 ヒータ
- 2 3 1 排気管
- 2 3 2 a ~ 2 3 2 f ガス供給管

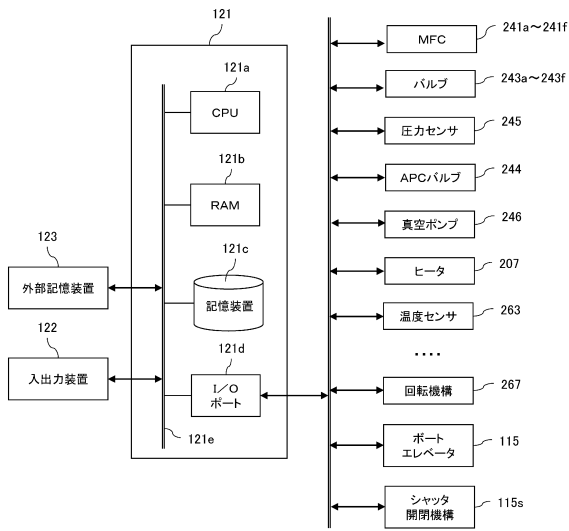
【 図 1 】



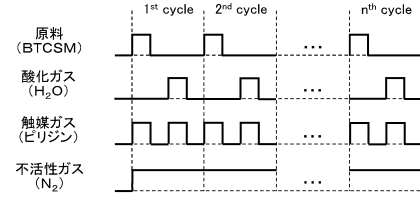
【 図 2 】



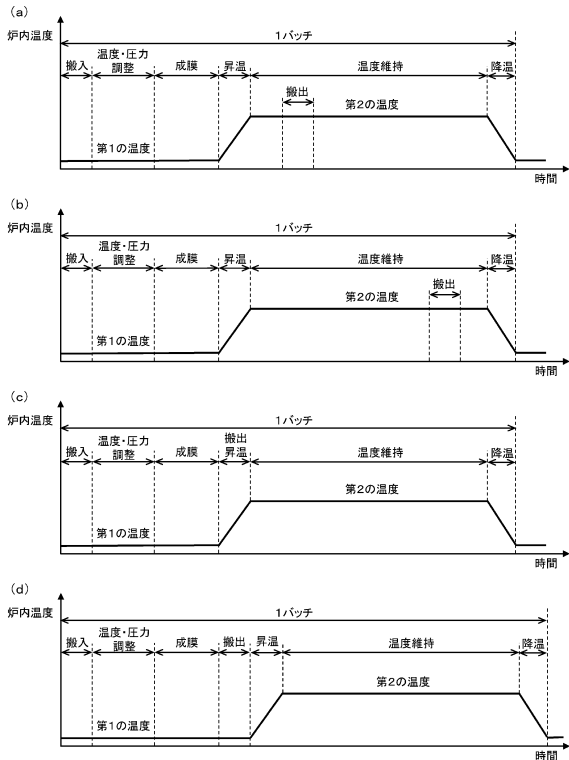
【 図 3 】



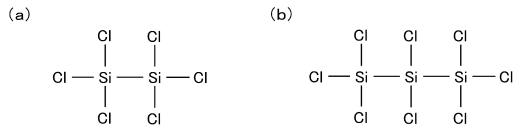
【 図 4 】



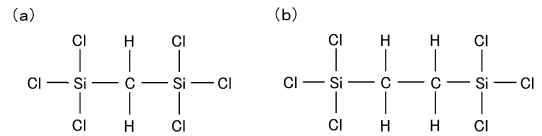
【 図 5 】



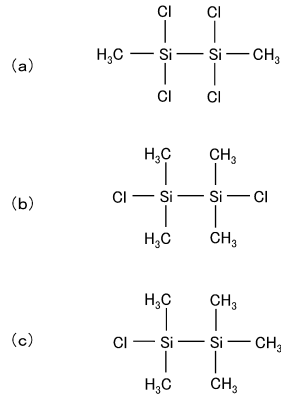
【 図 6 】



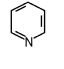
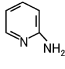
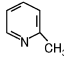
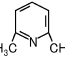
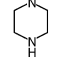
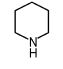
【 図 7 】

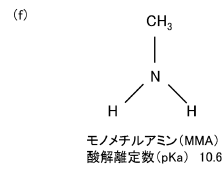
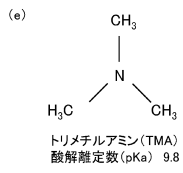
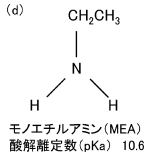
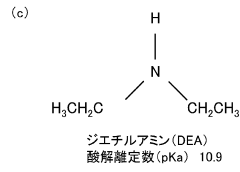
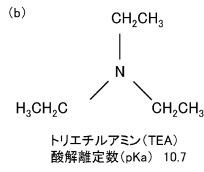


【 図 8 】

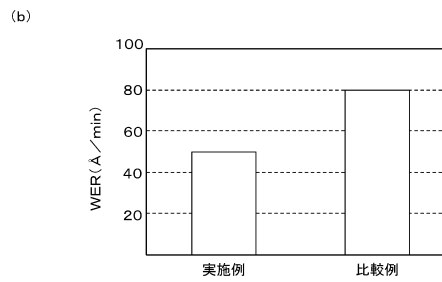
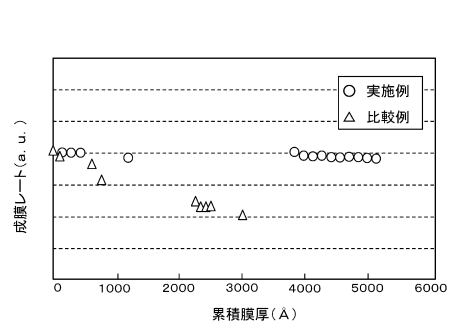


【図9】

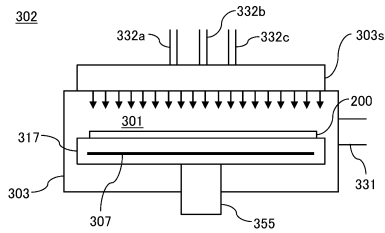
名称	ピリジン	アミノピリジン	ピコリン	ルチジン	ピペラジン	ピペリジン
組成式	C ₅ H ₅ N	C ₅ H ₆ N ₂	C ₆ H ₇ N	C ₇ H ₉ N	C ₆ H ₁₀ N ₂	C ₆ H ₁₁ N
構造式						
酸解離定数 (pKa)	5.67	6.89	6.07	6.96	9.80	11.12



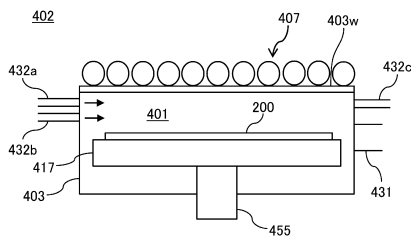
【図10】



【図11】



【図12】



フロントページの続き

審査官 綿引 隆

(56)参考文献 特開2014-199856(JP,A)
特開2015-012198(JP,A)
特開2013-225653(JP,A)

(58)調査した分野(Int.Cl., DB名)
H01L 21/31-316